

Fyziologie novorozence



MUDr. Blanka Zlatohlávková, Ph. D.

**Neonatologické oddělení Gynekologicko-porodnické
kliniky VFN v Praze a 1. LF UK**

**Klinika pediatrie a dědičných poruch metabolismu VFN
v Praze a 1. LF UK**

Ústav humanitních studií v lékařství 1. LF UK

<https://www.medicalmedia.eu/cs/Detail/14620>

<https://youtu.be/gZWEdu29kQ8>



VFN PRAHA



Struktura prezentace

1. Rozdělení novorozenců
2. Demografická a epidemiologická data
3. Postnatální kardiopulmonální adaptace
4. Termoregulace novorozence
5. Kůže novorozence
6. Vývoj GIT a enterální výživa
7. Imunologie plodu a novorozence
8. Hematologie novorozence
9. Renální funkce a složení těla
10. Vývoj CNS

Dělení novorozenců podle délky gestace

Zralý novorozenec: 37.–41. GT (260–294 dní) - term

37.–38. GT (260–273 dní) - early term

39.–40. GT (274 – 287 dní) - full term

41. GT (288–294 dní) - late term

Nezralý novorozenec: < 37. GT (< 260 dní) - preterm

lehce 34.–36. GT (239–259 dní) - late preterm

středně 32.–33. GT (225–238 dní) - moderately preterm

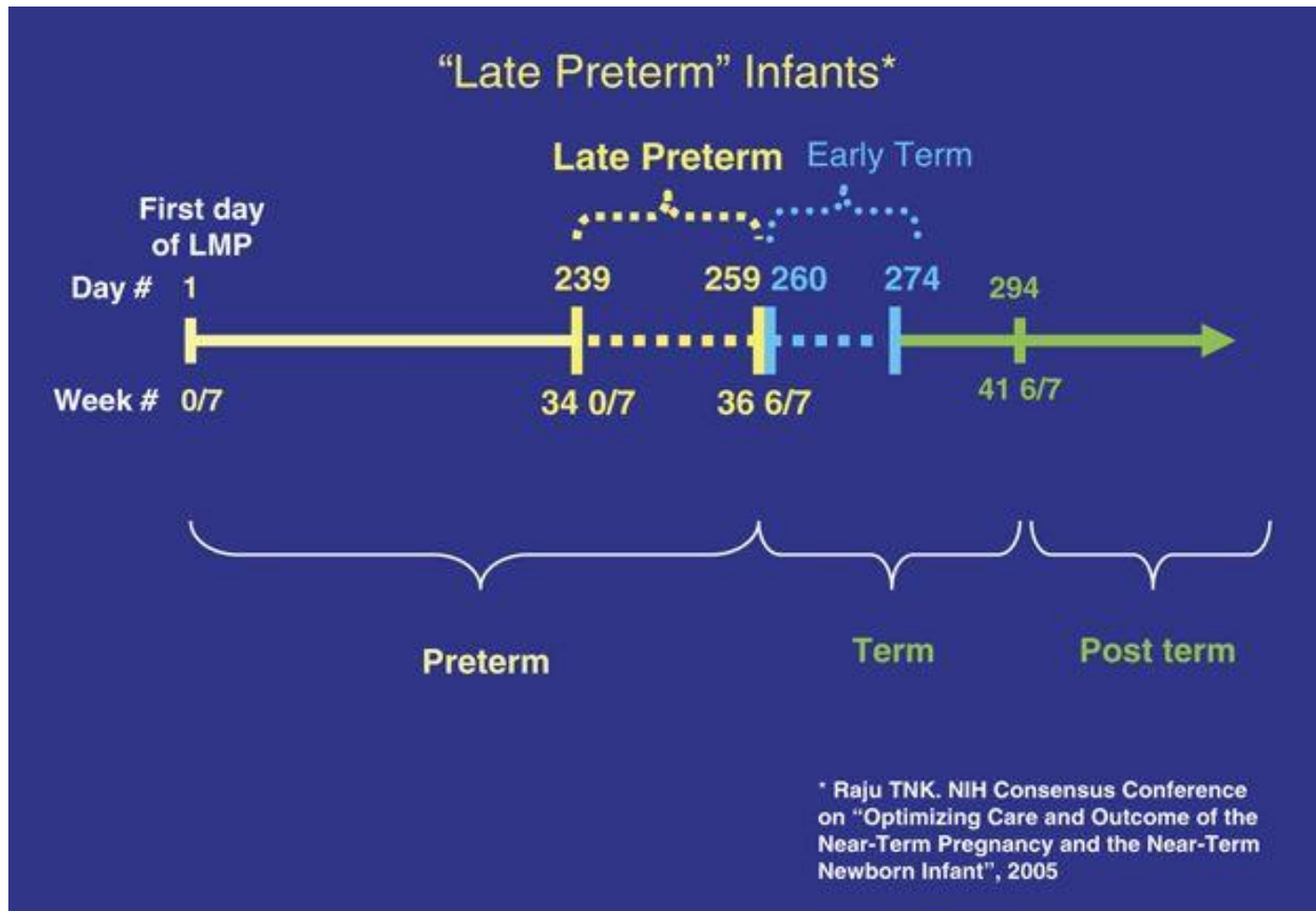
těžce 31.–28. GT (197–224 dní) - very preterm

extrémně < 28. GT (< 197 dní) - extremely preterm

Hranice viability 22.–25. GT – border of viability

Přenášený novorozenec: ≥ 42. GT (≥ 295 dní) - post term

Dělení novorozenců podle délky gestace



Dělení novorozenců podle hmotností

Novorozenci nízké porodní hmotnosti

NNPH, LBWI - < 2500 g

Novorozenci velmi nízké porodní hmotnosti

NVNPH, VLBWI - < 1500 g

Novorozenci extrémně nízké porodní hmotnosti

NENPH, ELBWI < 1000 g

zvláštní skupina < 750 g - ILBWI

Dělení novorozenců podle hmotností ve vztahu ke gestačnímu týdnu

Novorozenci eutrofičtí

s hmotností mezi 3. a 97. percentilem

Novorozenci hypertrofičtí

s hmotností nad 97. percentilem

Novorozenci hypotrofičtí

s hmotností pod 3. percentil (5., 10. percentil)

Intrauterinní růstová retardace - IUGR (FRG)

Průměrná hmotnost novorozenců ve vztahu ke gestačnímu týdnu

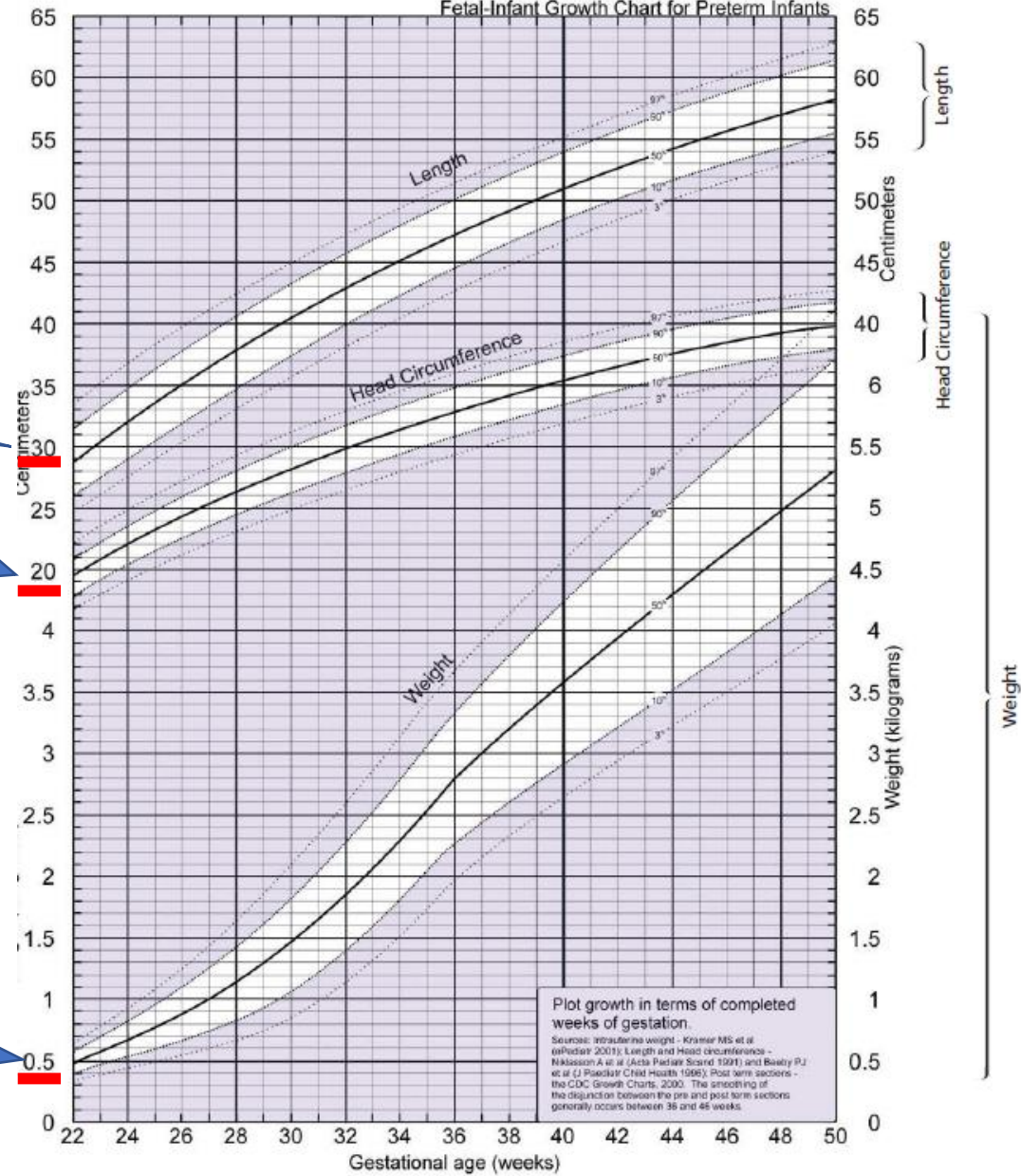
22. GT – 500 g

27. GT – 1000 g

32. GT – holčičky 1800 g, kluci 1900 g

40. GT – holčičky 3350 g, kluci 3500 g

Fetal-Infant Growth Chart for Preterm Infants



Délka

Obvod hlavy

Hmotnost

Novorozenecké období

Časné období: 1.–7. den (0.–6. den)

Pozdní období: 8.–28. den (0.–27. den)

Statistické údaje péče o novorozence

Mrtvorozenost - počet mrtvě rozených/1000 narozených

Perinatální úmrtnost – PÚ - počet mrtvě rozených a zemřelých do 7. dne/1000 narozených

Novorozenecká úmrtnost – NÚ

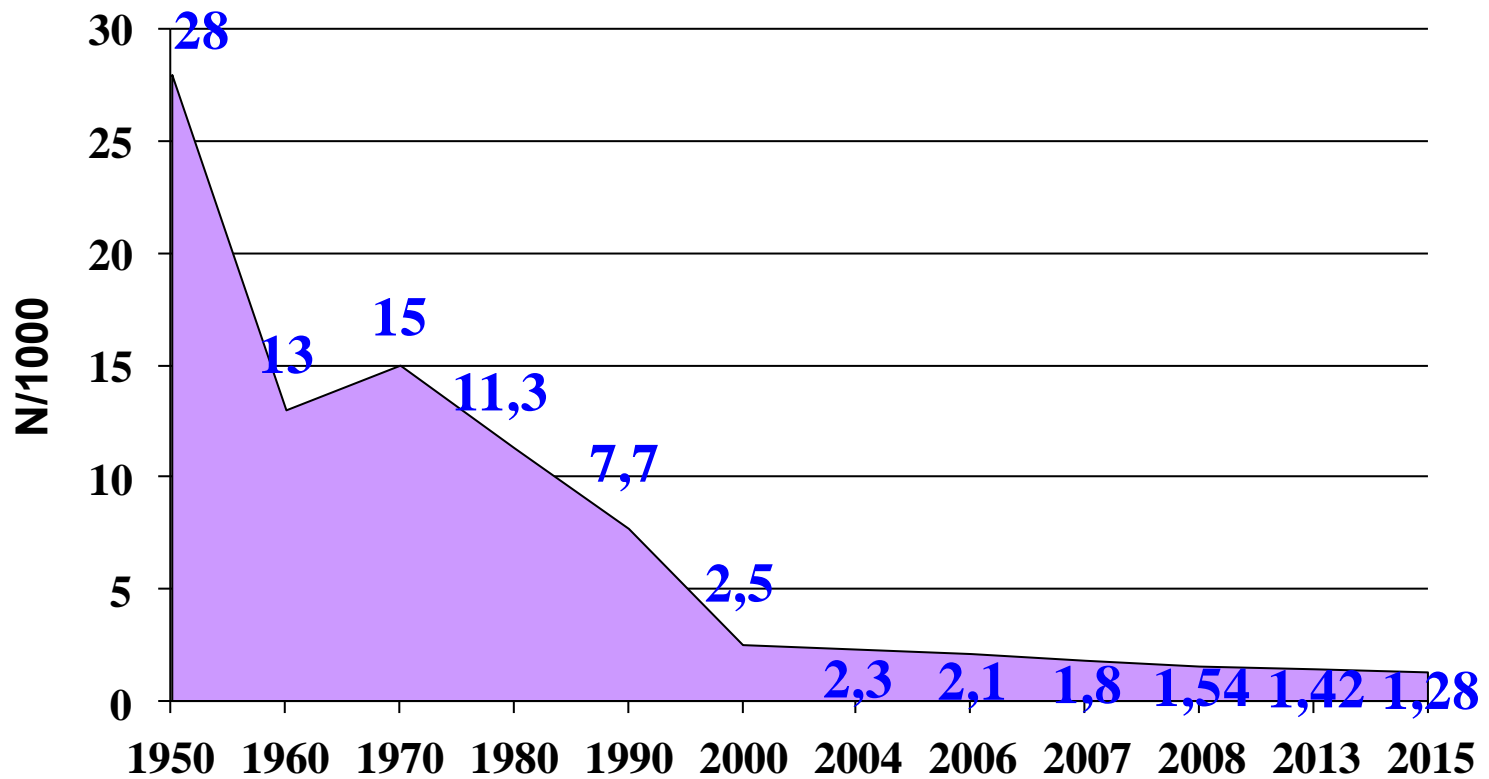
počet zemřelých 1.–28. den/1000 živě narozených

Časná ČNÚ 1.–7. den

Pozdní PNÚ 8.–28. den

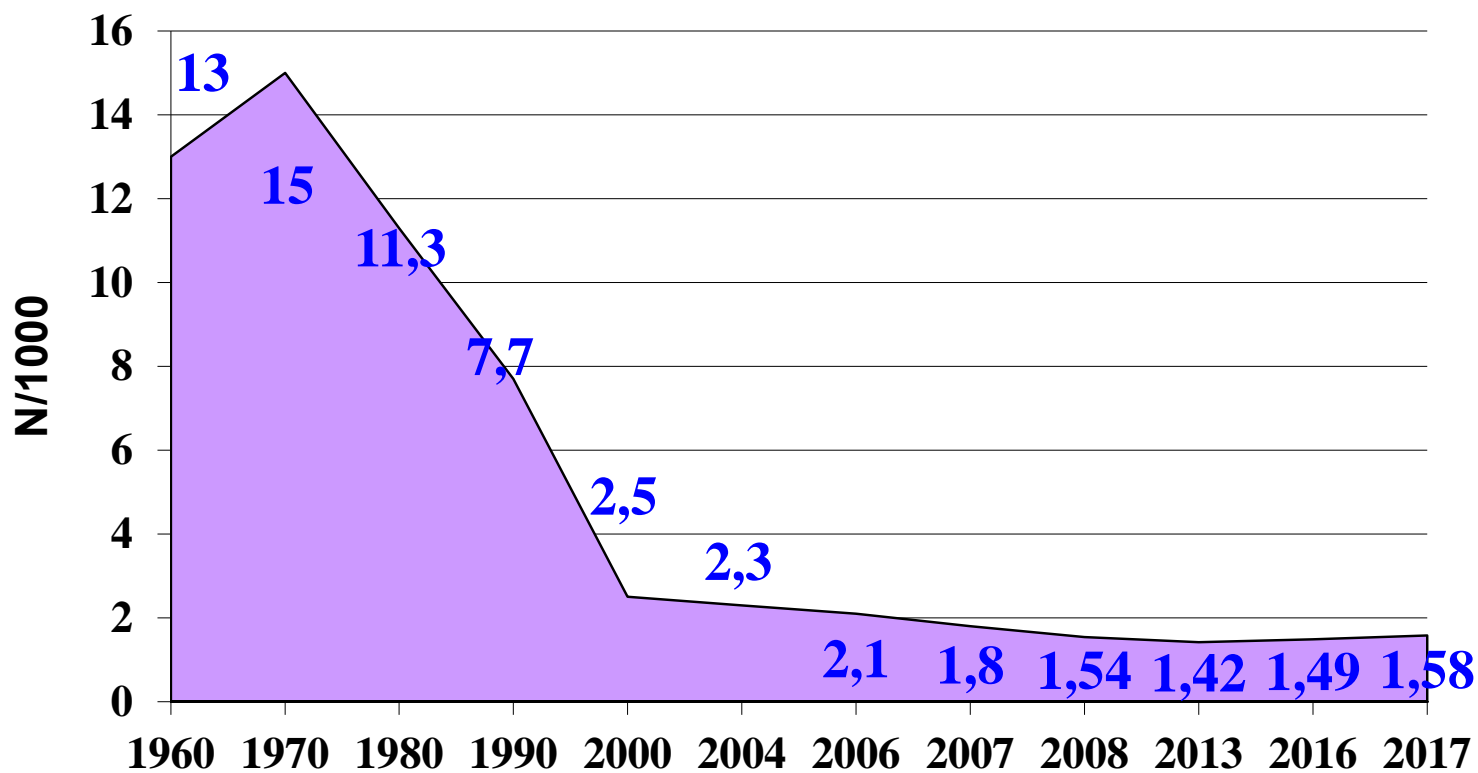
Novorozenecká úmrtnost

Česká republika 1950-2015



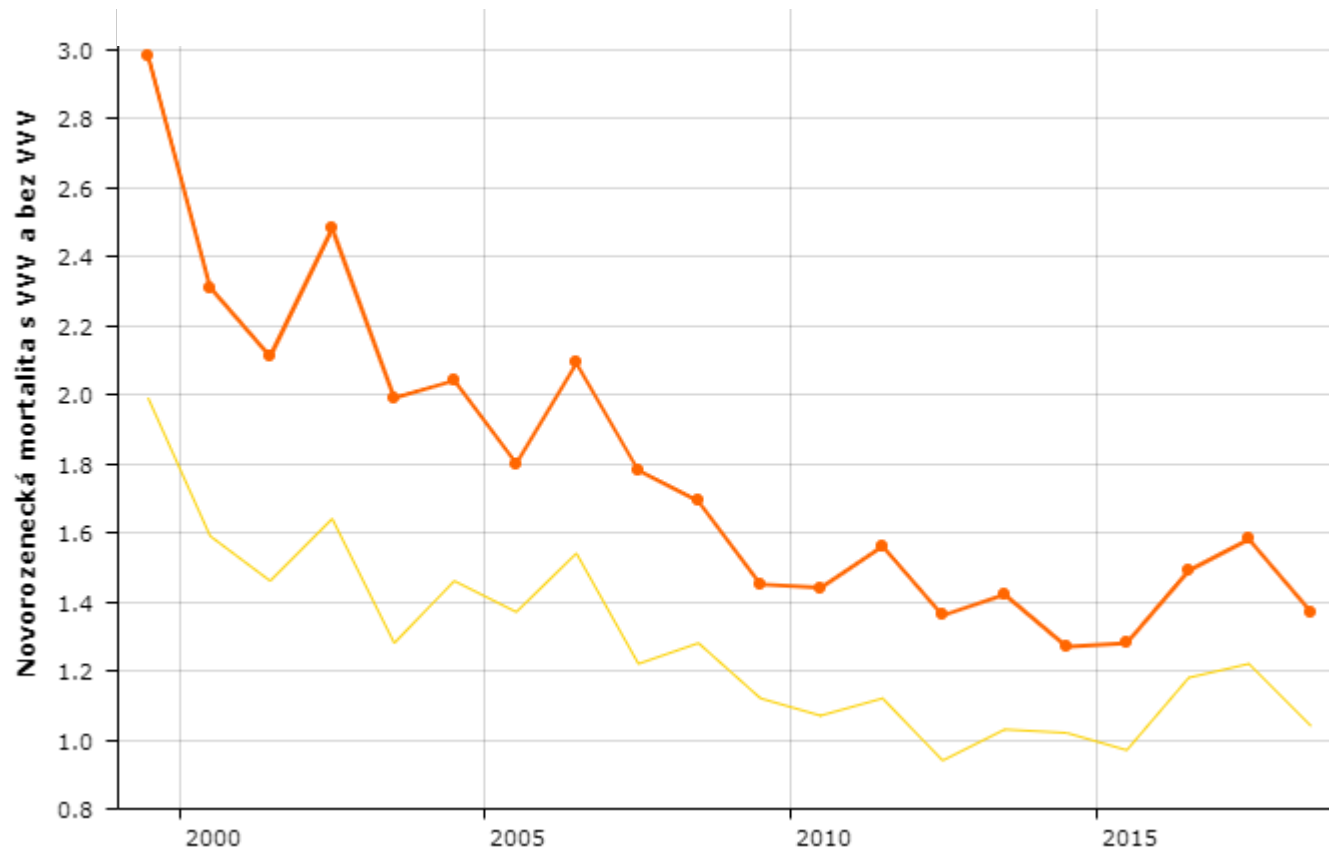
Novorozenecká úmrtnost

Česká republika 1960-2017



Novorozenecká úmrtnost

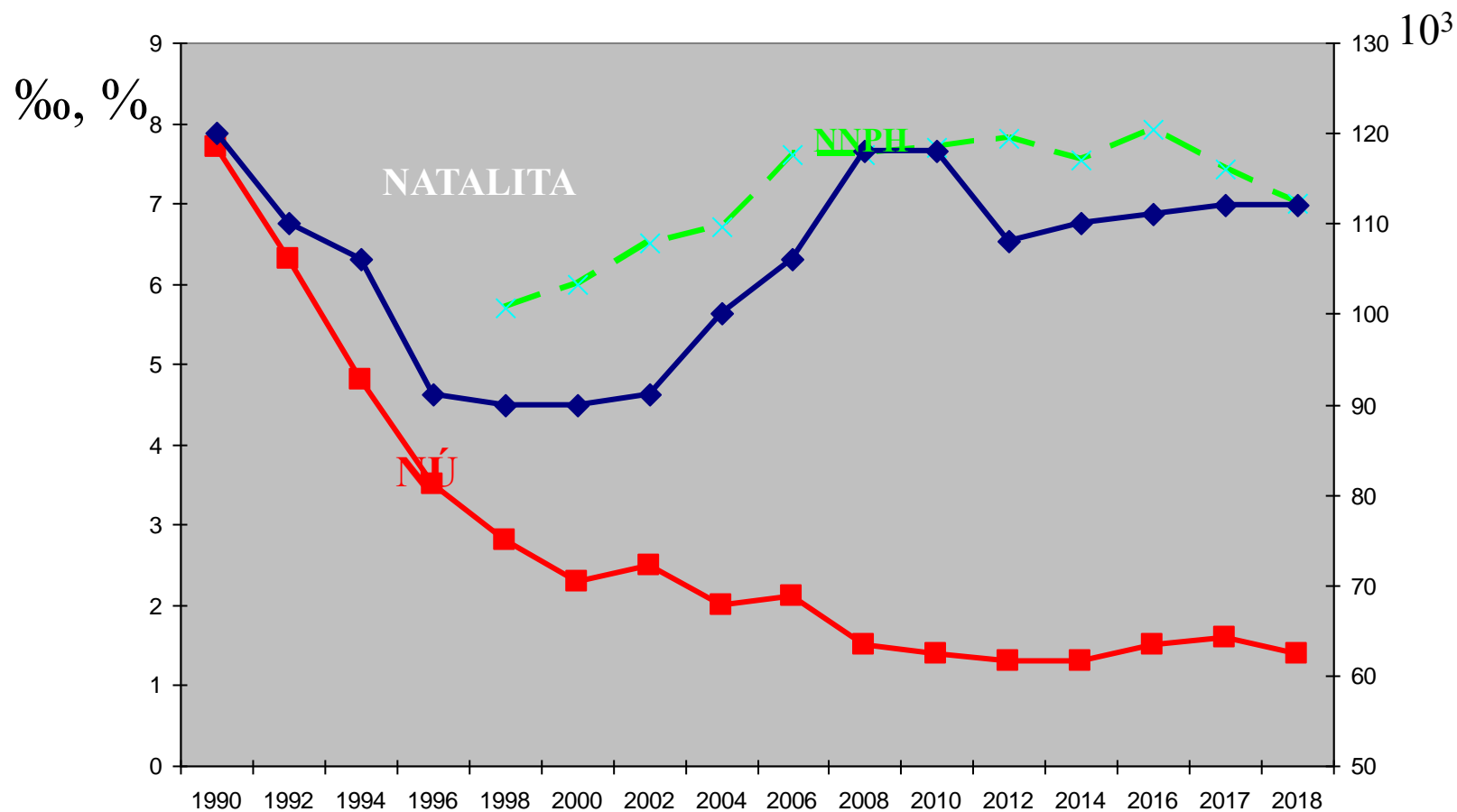
Česká republika 1999–2018



Celková
1,37
Bez VVV
1,07

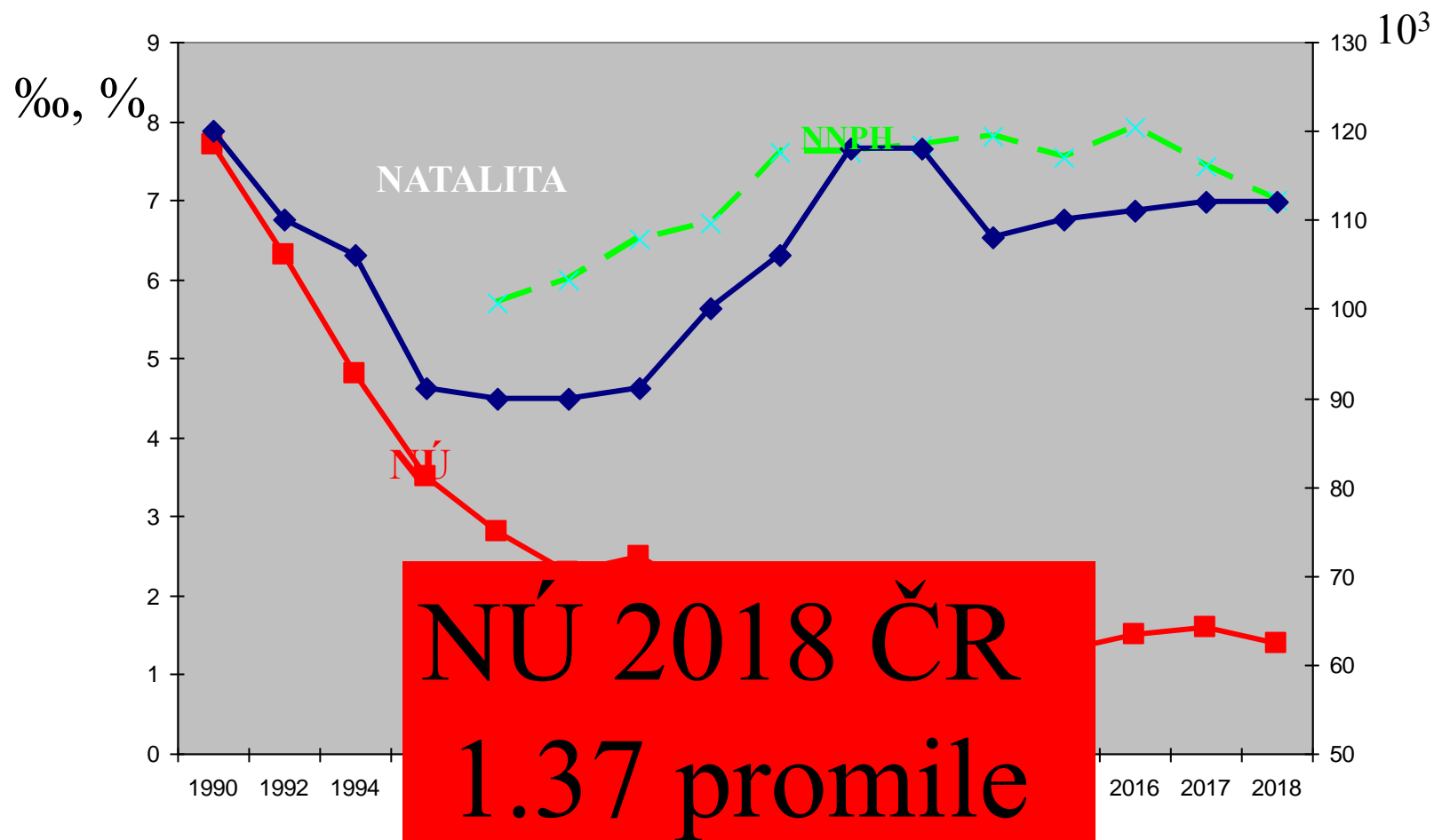
Vývoj natality a NÚ

Česká republika 1990–2018



Vývoj natality a NÚ

Česká republika 1990–2018



Postnatální adaptace cirkulace a dýchání

Fyziologické změny, kritické pro přežití ex utero

Zahájení dýchání ⇒ aerace plic

⇒ pokles plicní cévní rezistence (PVR)

⇒ zvýšení průtoku krve plícemi (PBF)

Přerušování pupečníku

⇒ ukončení funkce placenty jako místa výměny plynů a odstranění nízko-rezistentního zkratu

Fetální plíce

K rozvoji plic a dýchacích cest nutná přítomnost

plicní tekutiny

dýchacích pohybů plodu

Transpulmonární tlakový gradient mezi dýchacími cestami a amniem 1 cm H₂O – **distenze plic**

22.–24. týden - možnost efektivní výměny plynů

(kanalikulární stadium: cévy + povrch dýchacích cest - aciny)

Fetální plicní tekutina

Secernována pneumocyty I. typu

2→5 ml/kg/hod - aktivně Cl^- , pasivně Na^+ a voda

Vyplňuje dýchací cesty a alveoly - 20–30 ml/kg

Rovnováha sekrece do plic ↔ ztrát do trachey

Při porodu sekrece → resorpce

(katecholaminy, ADH → reabsorpce Na^+ ?)

Fetální dýchání

Malé kontrakce bránice

nutné k rozvoji plic

**(omezené pohyby - oligohydramnion, hydrothorax,
muskuloskeletální poruchy, brániční hernie)**

Gaspy při asfyxii

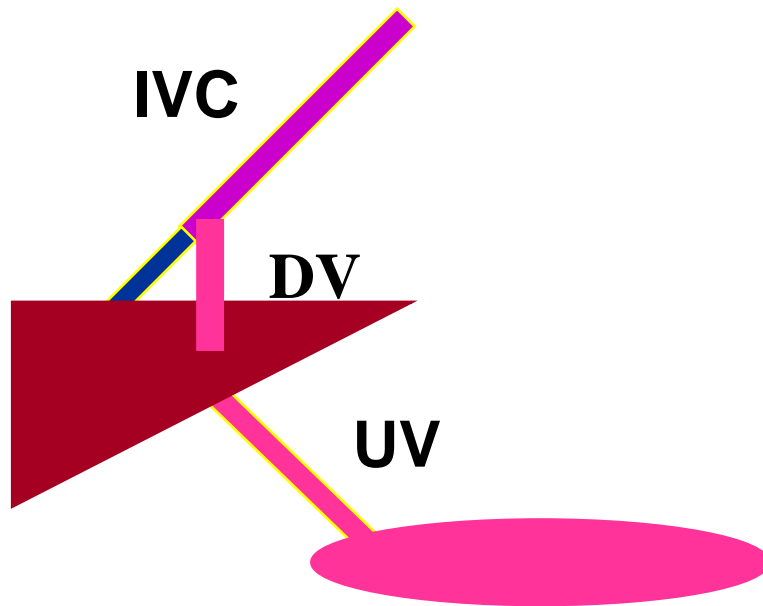
nebezpečí aspirace mekonia



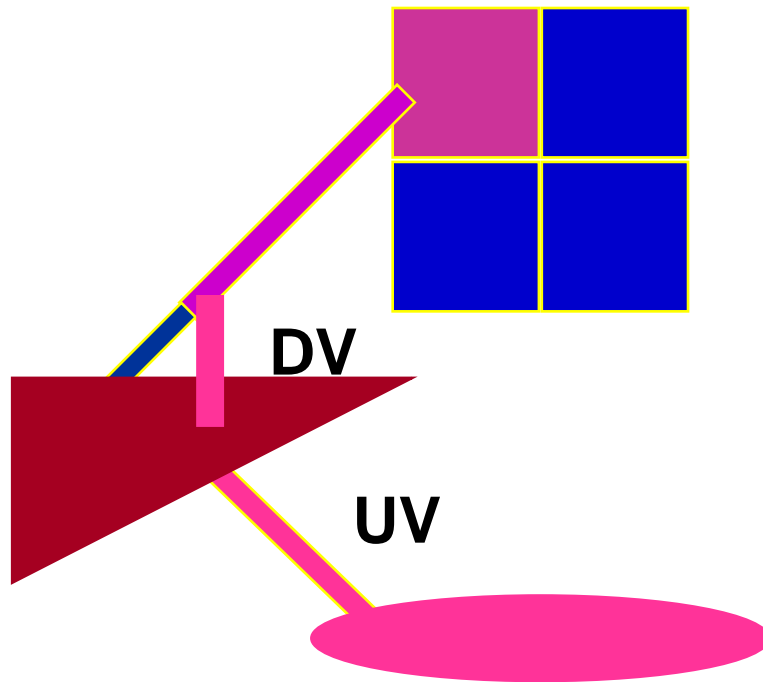
Fetální cirkulace



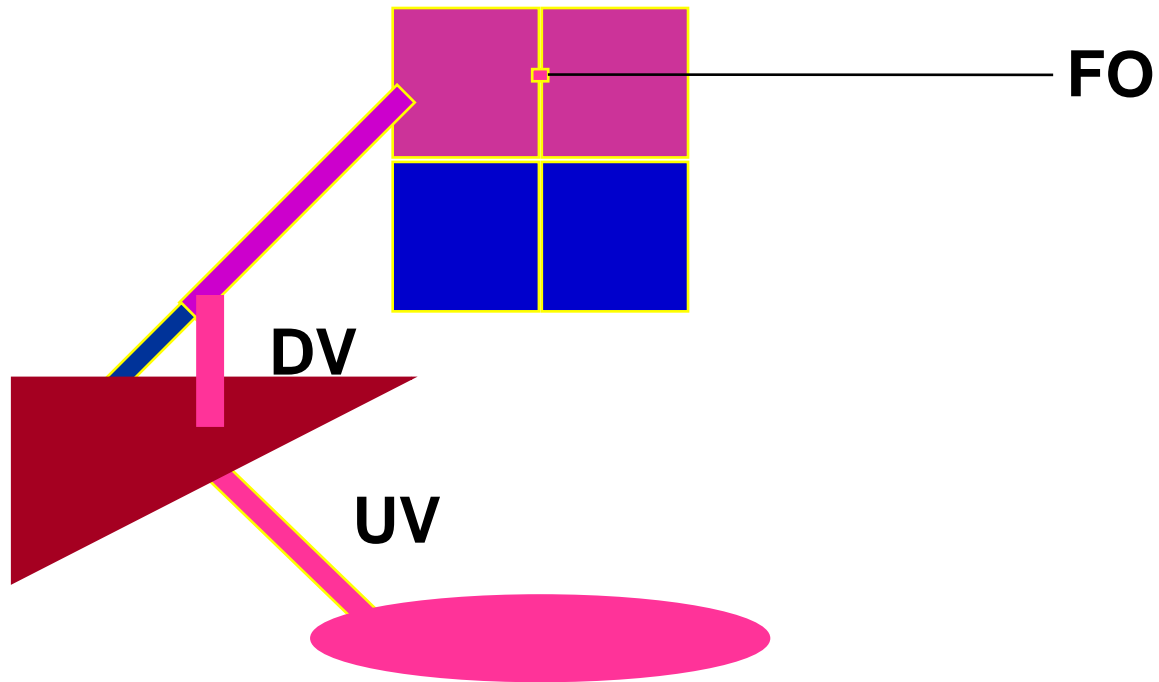
Fetální cirkulace



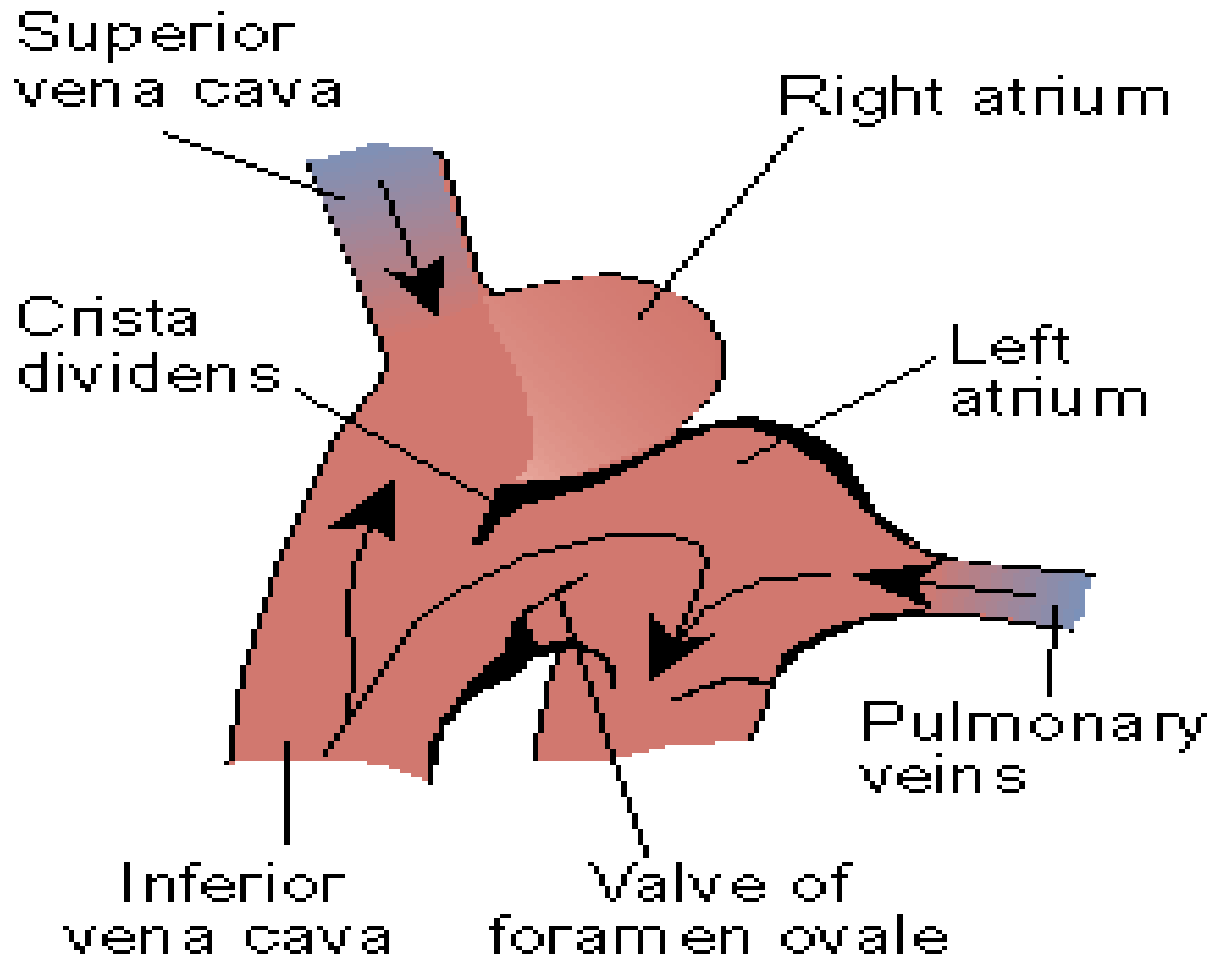
Fetální cirkulace



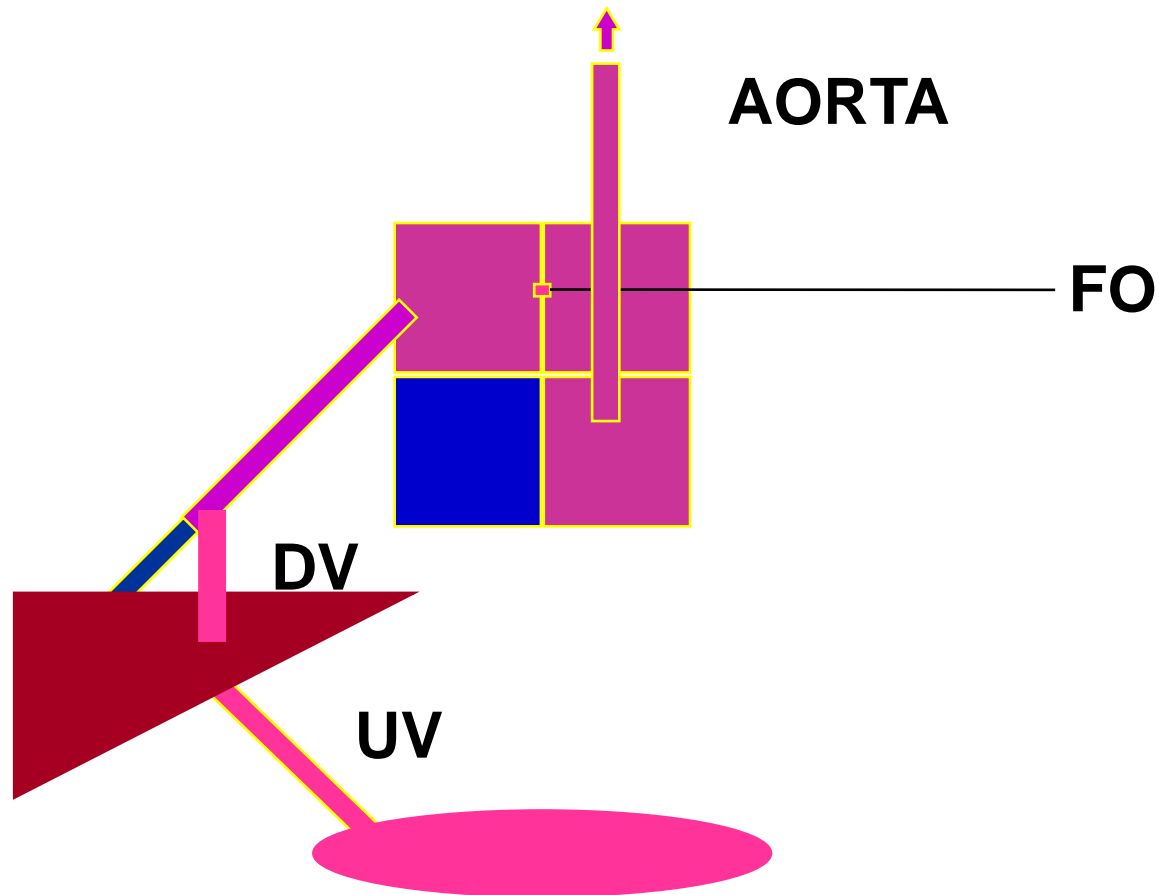
Fetální cirkulace



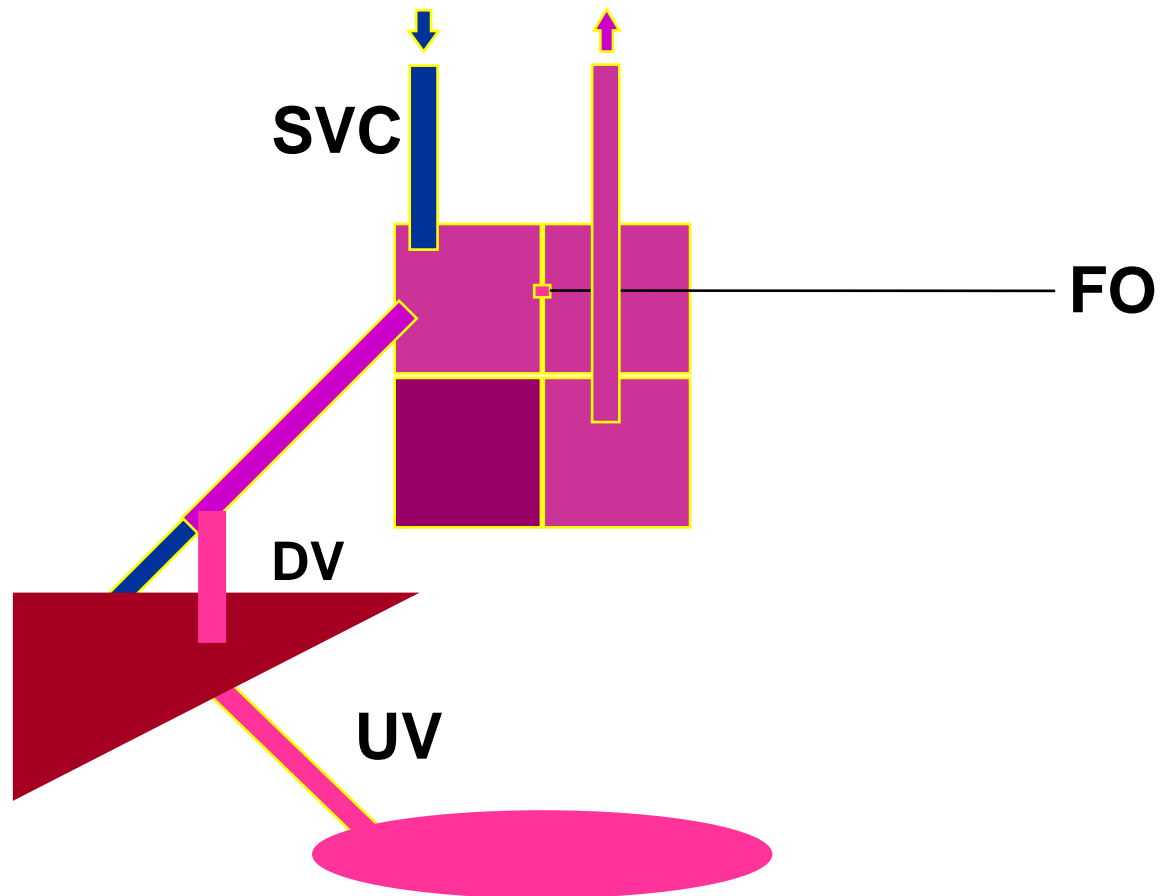
Fetální cirkulace



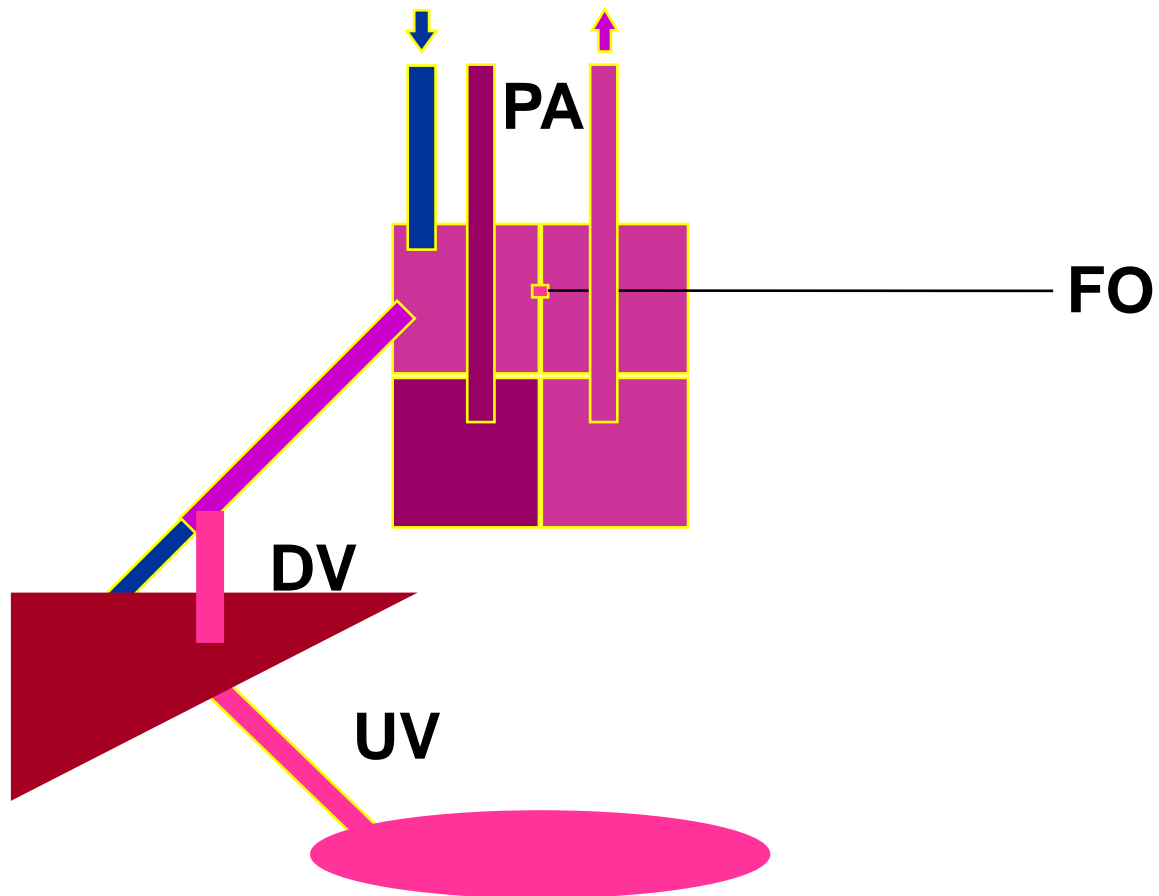
Fetální cirkulace



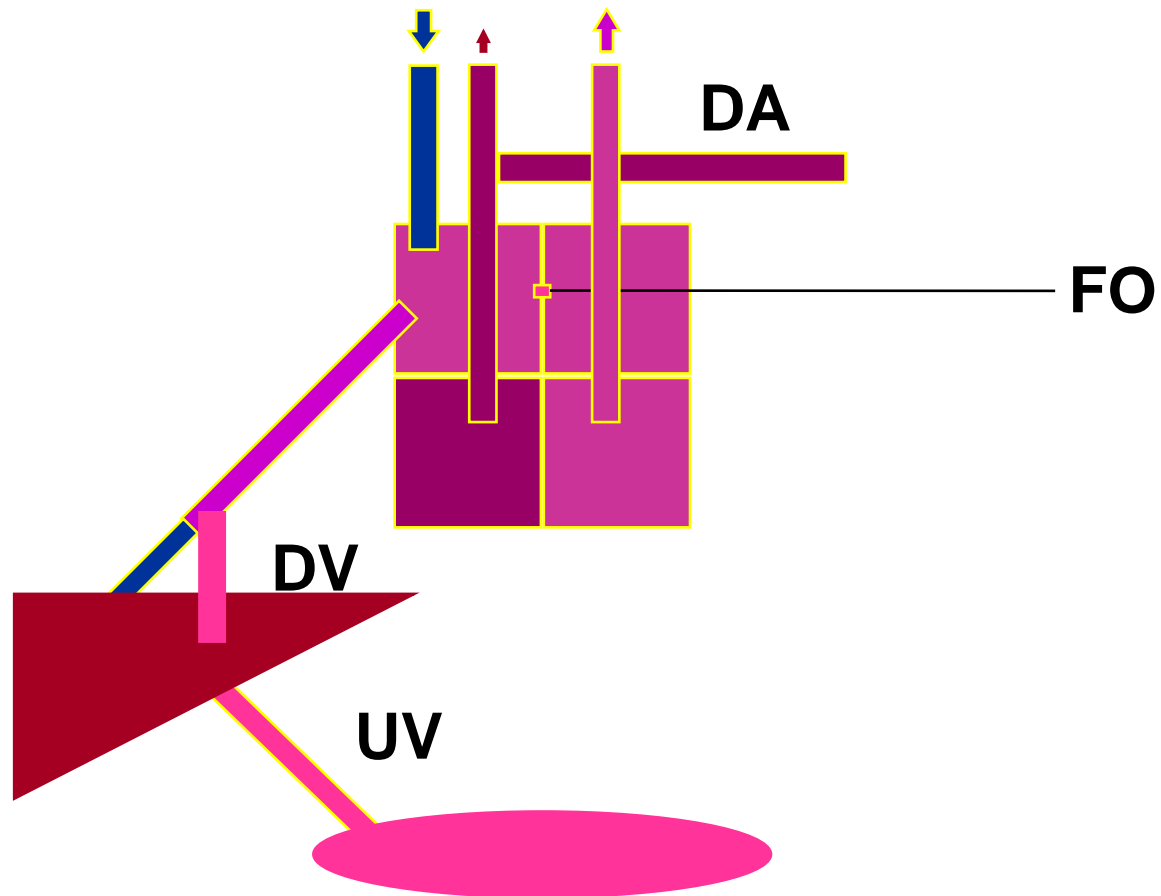
Fetální cirkulace



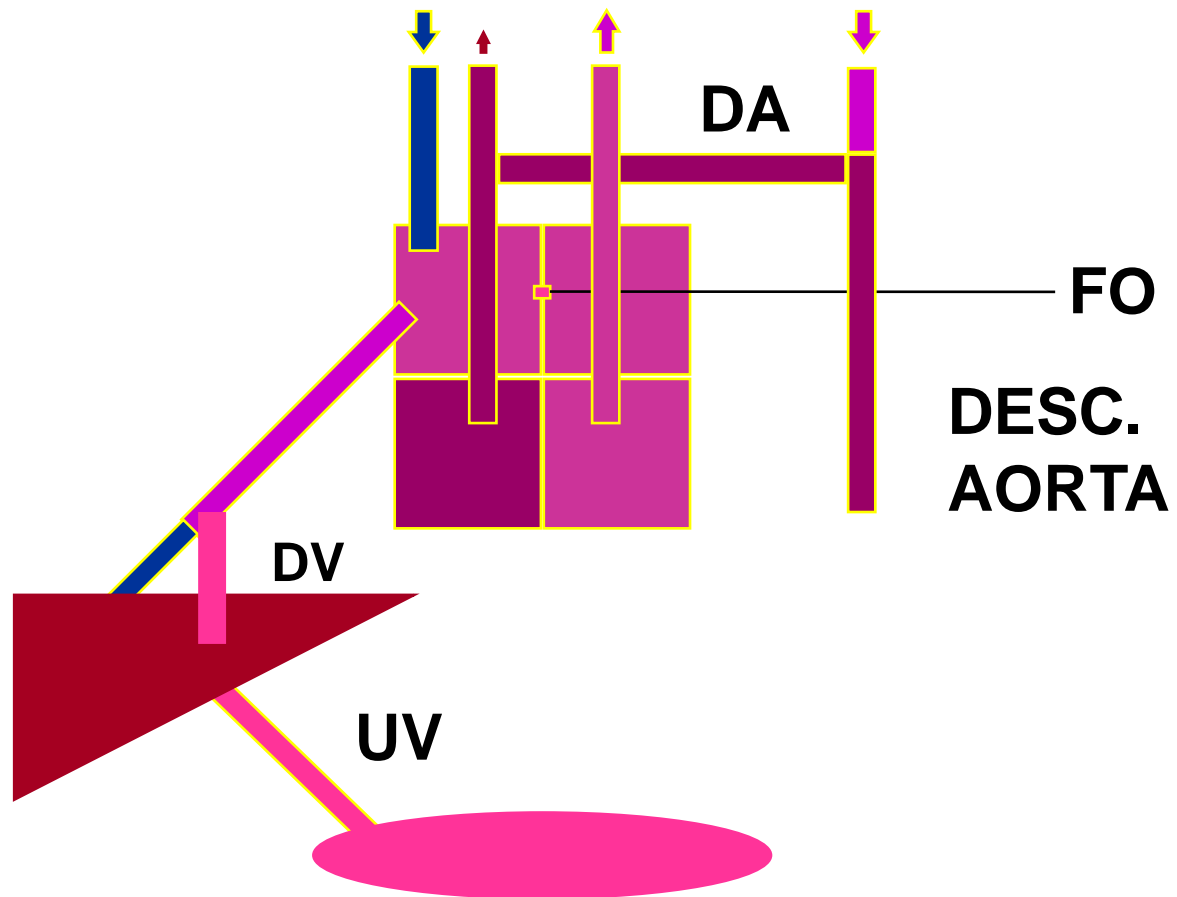
Fetální cirkulace



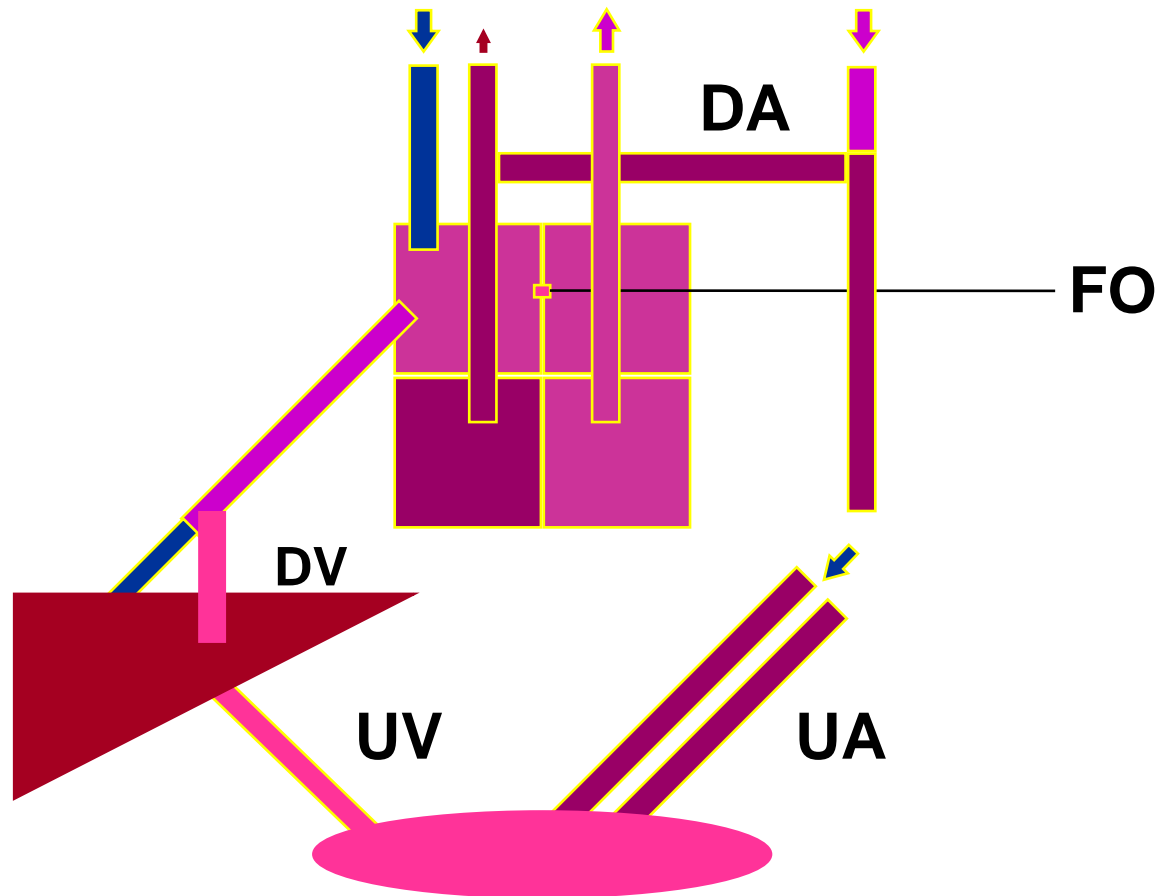
Fetální cirkulace

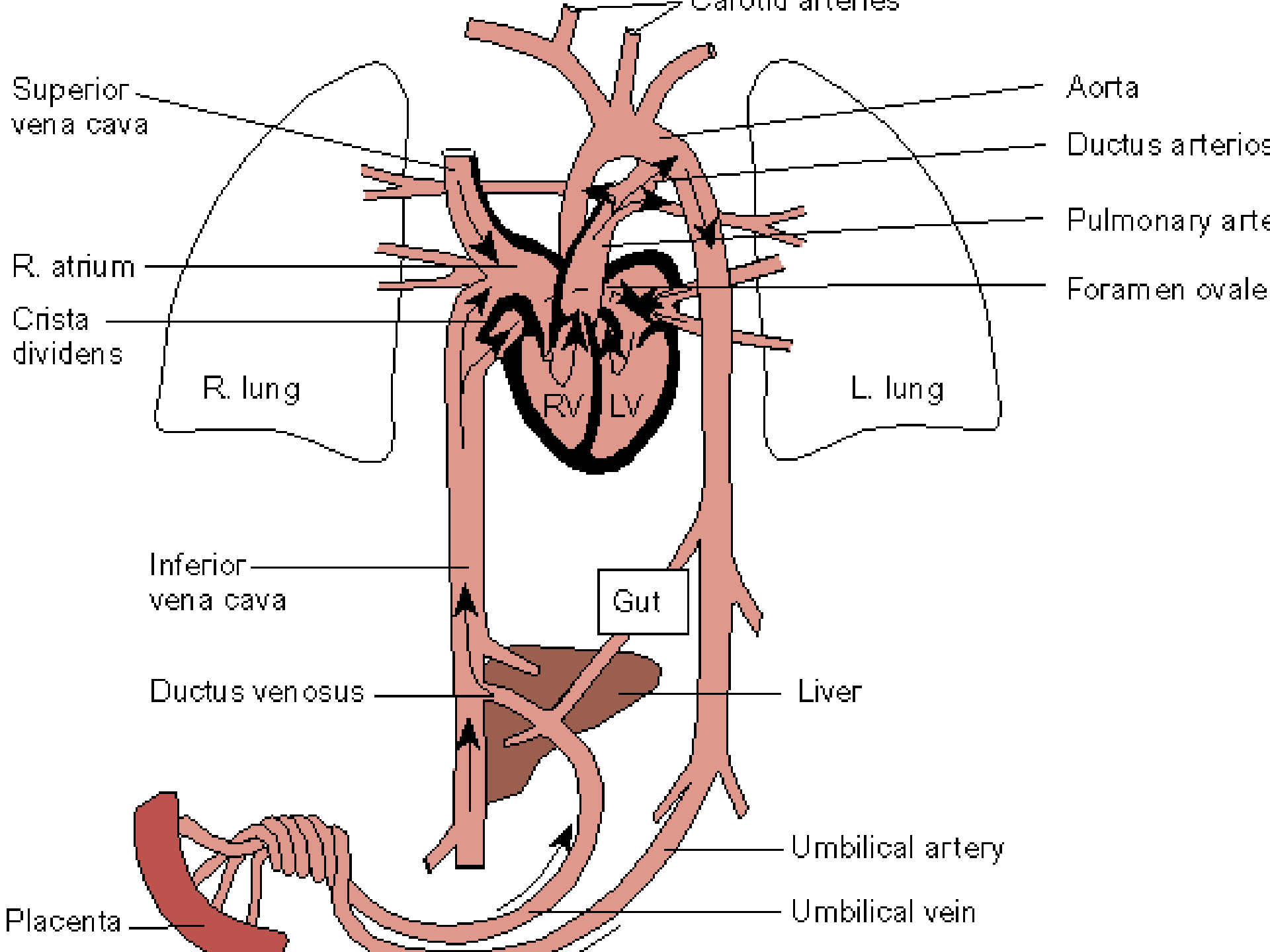


Fetální cirkulace

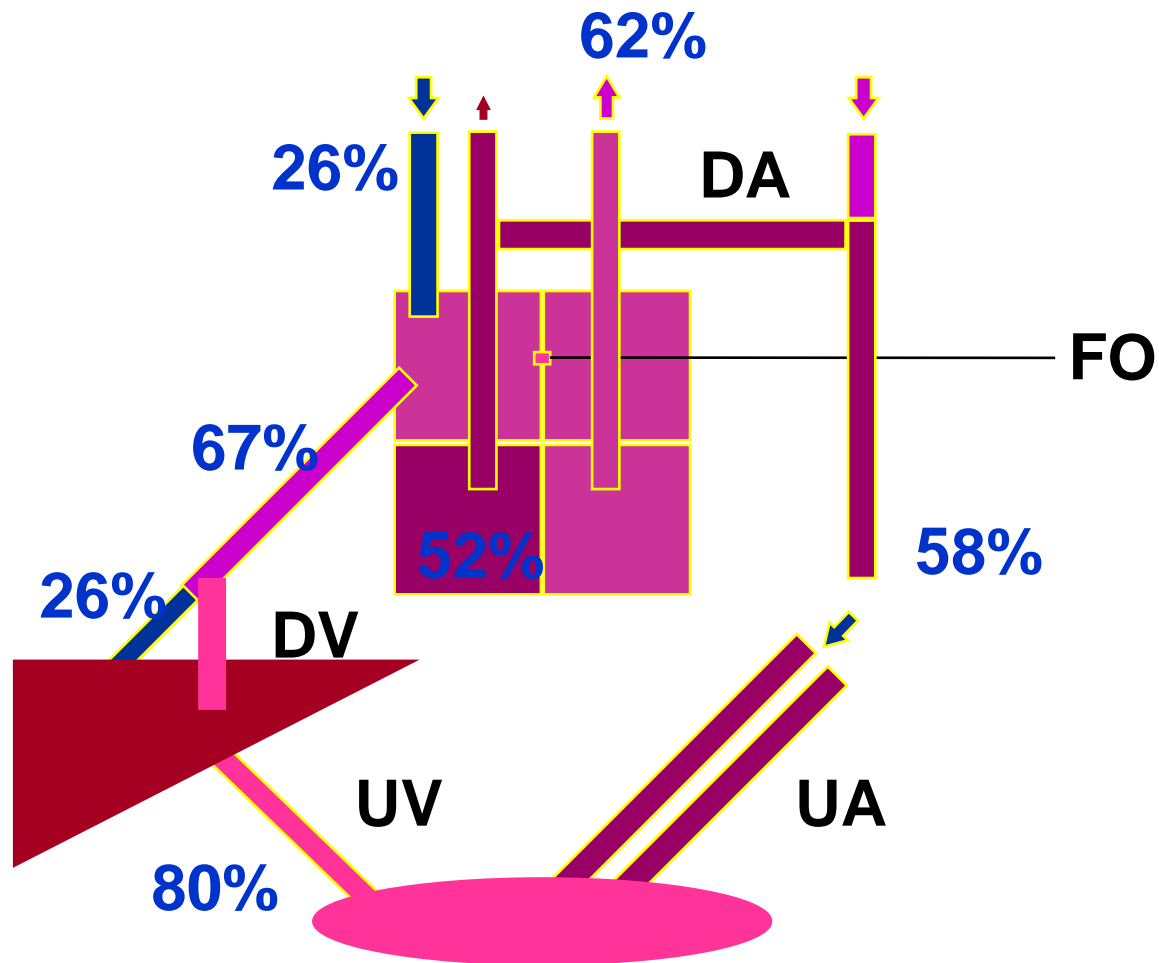


Fetální cirkulace

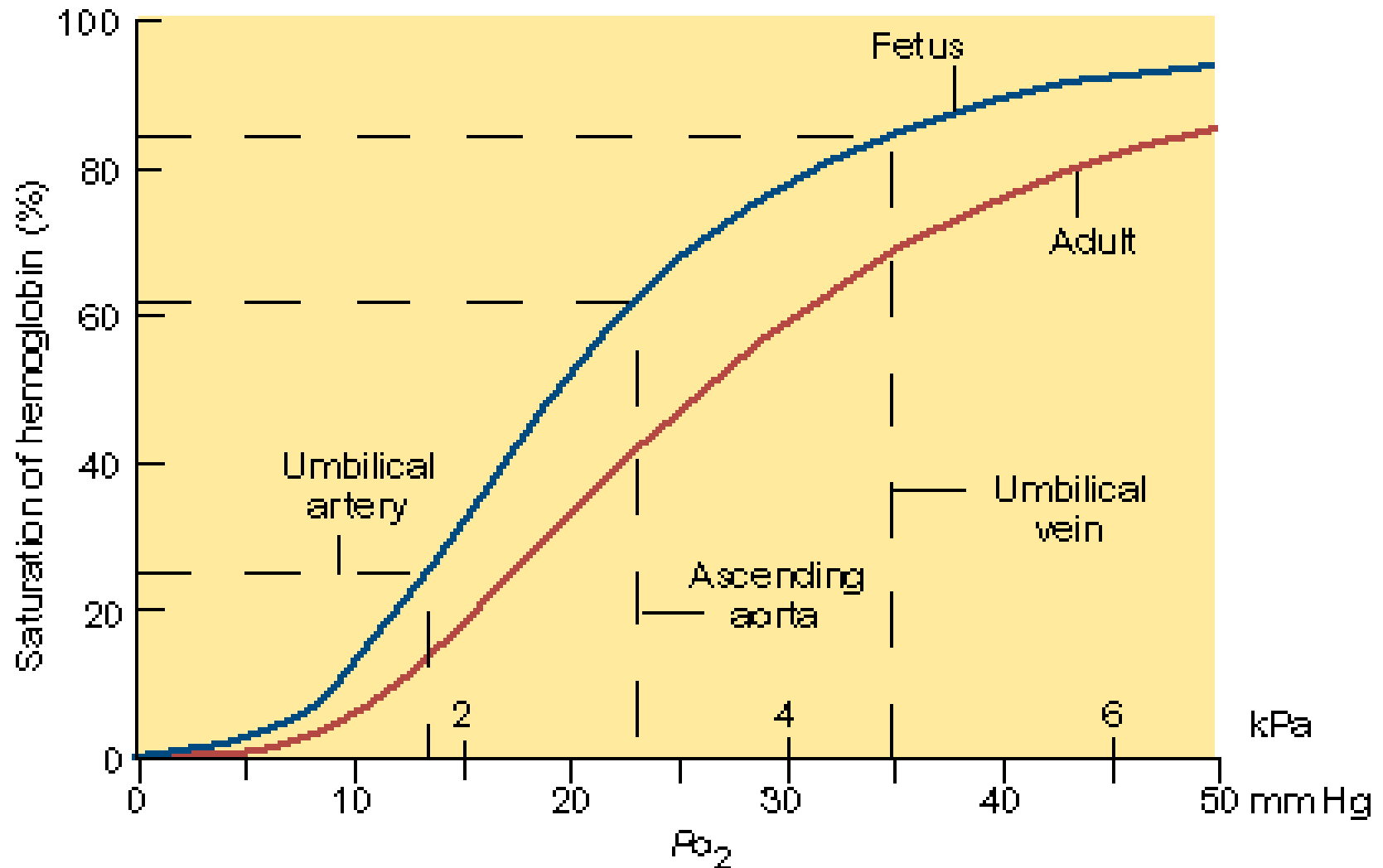




Fetální cirkulace – SaO₂



Disociační křivka Hb pro O₂



První vdechy

Pasivní vdech – dekomprese hrudníku?

Aktivní vdechy – do 10 s (medián)

Chlad (obličej)

Audiovizuální stimuly

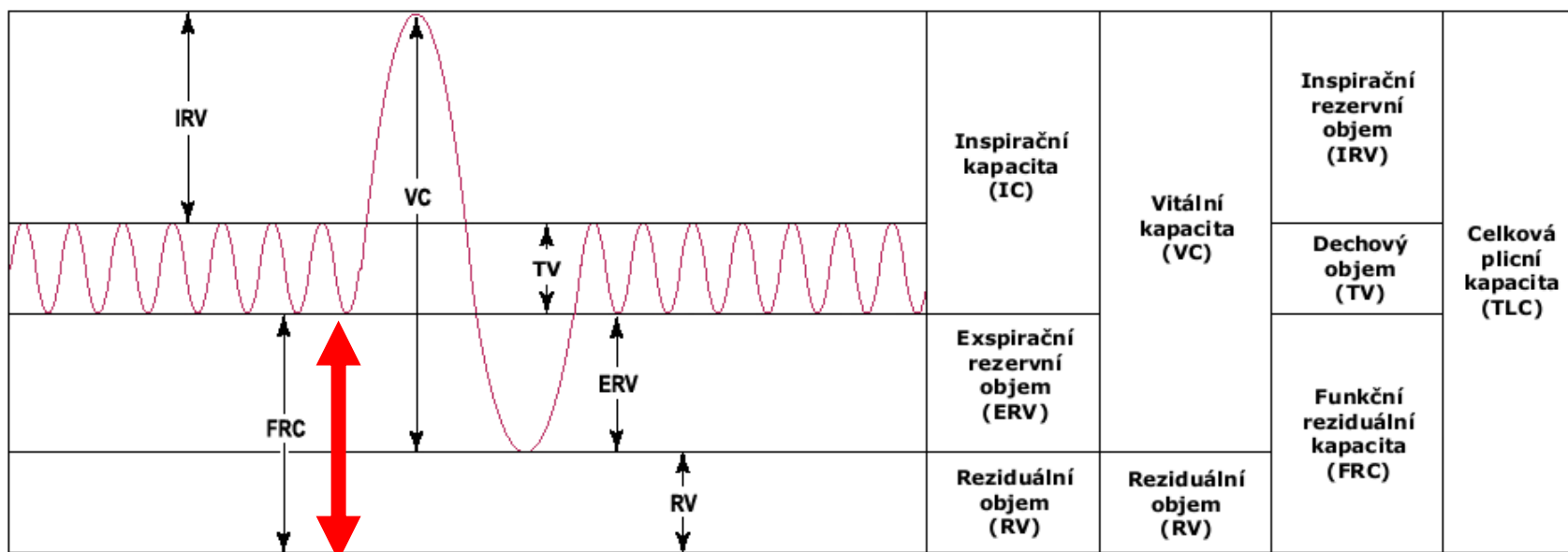
Proprioceptivní stimuly

Stimulace doteky

Hypoxie – centrální chemoreceptory

Aerace plic 3 ml/kg/s \Rightarrow ustanovení FRC

Plicní objemy



Clearance plicní tekutiny

Za porodu **z plic do trachey**

kompresí hrudníku v porodním kanálu?

Aktivace Na⁺ kanálů adrenalinem (stres při pasáži hlavy)

⇒ reabsorpce Na⁺, Cl⁻

↑ **transpulmonálního tlaku**

při děložních kontrakcích (po odtoku plodové vody)

+ flexi trupu ⇒ ↑ abdominálního tlaku, elevace bránice

Clearance plicní tekutiny

Po porodu z dýchacích cest do intersticia

Aerace plic \Rightarrow transepiteliální tlakový gradient při inspiriu

\uparrow intersticiálního tlaku (až 6 cm H₂O) \Rightarrow expanze hrudníku

Přechod tekutiny do intersticia - 3–5 vdechů (32 l/kg/hod)

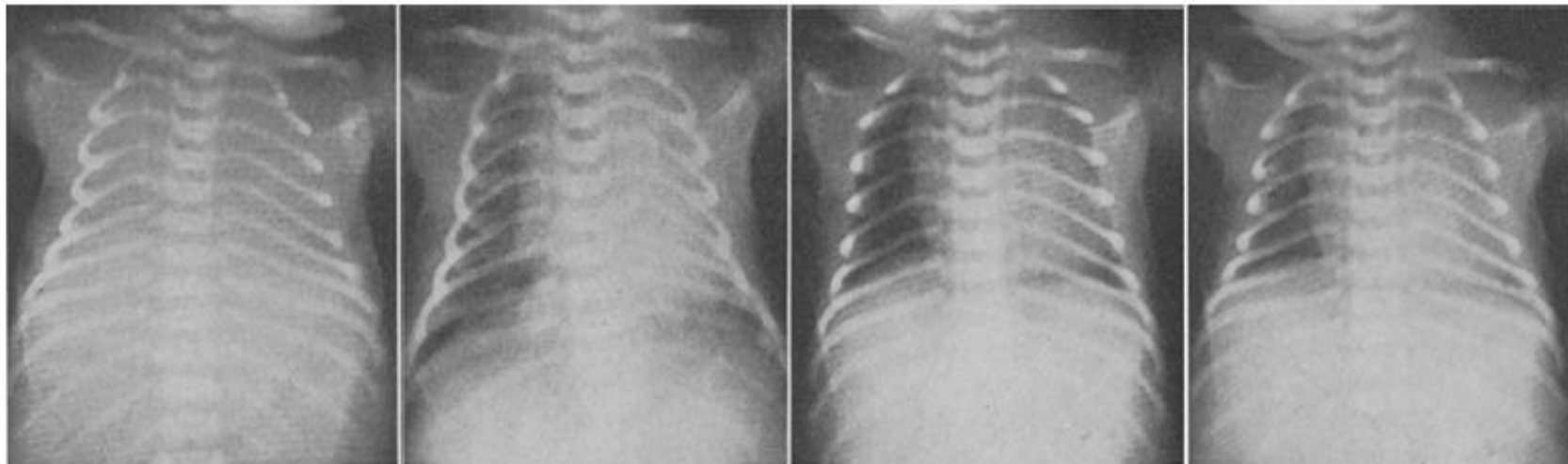
Očista plicními a lymfatickými cévami - hodiny

Zpočátku malý návrat tekutiny při výdechu

\downarrow intersticiálního tlaku na subatmosferický za několik hodin

První vdechy

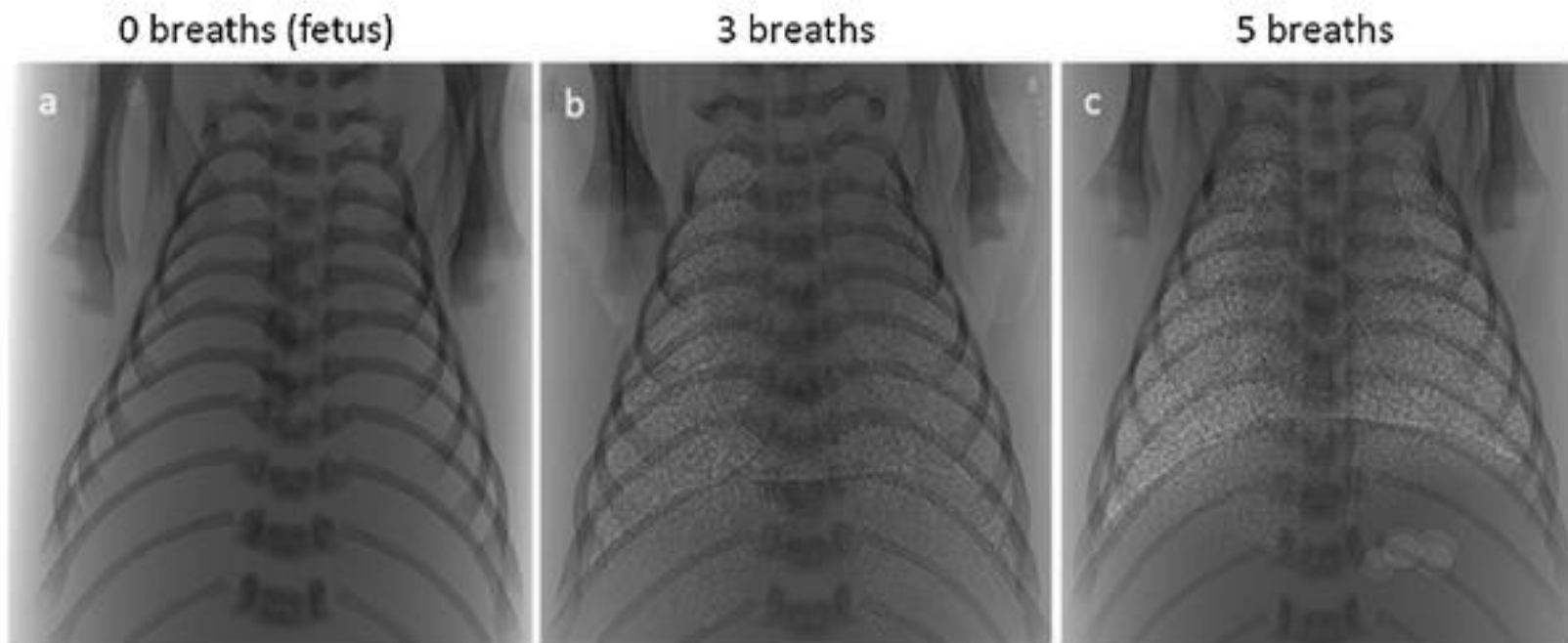
Aerace plic novorozence (RTG)



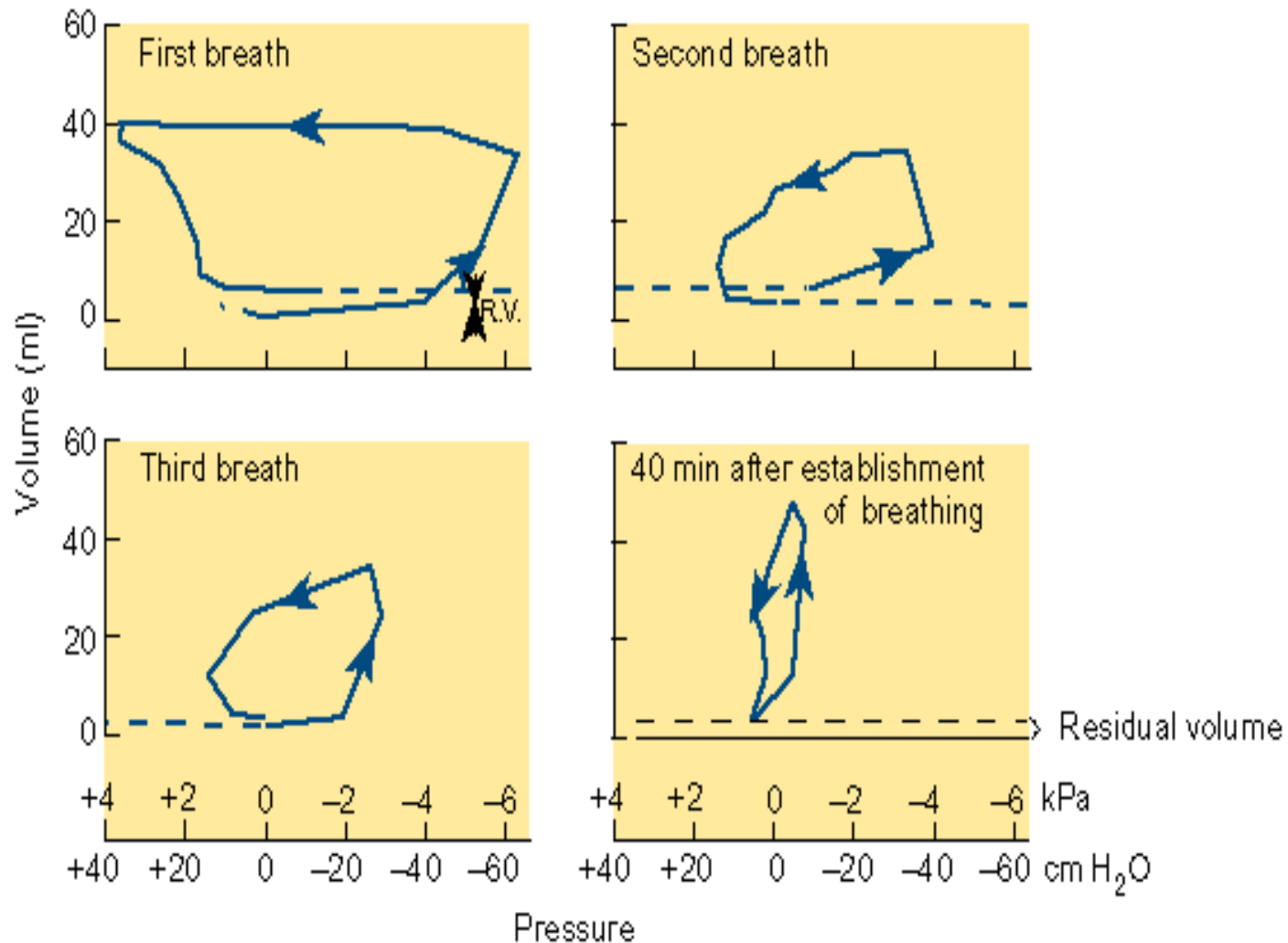
Lind J et al. *Z Kindeheilkd* 1963

První vdechy

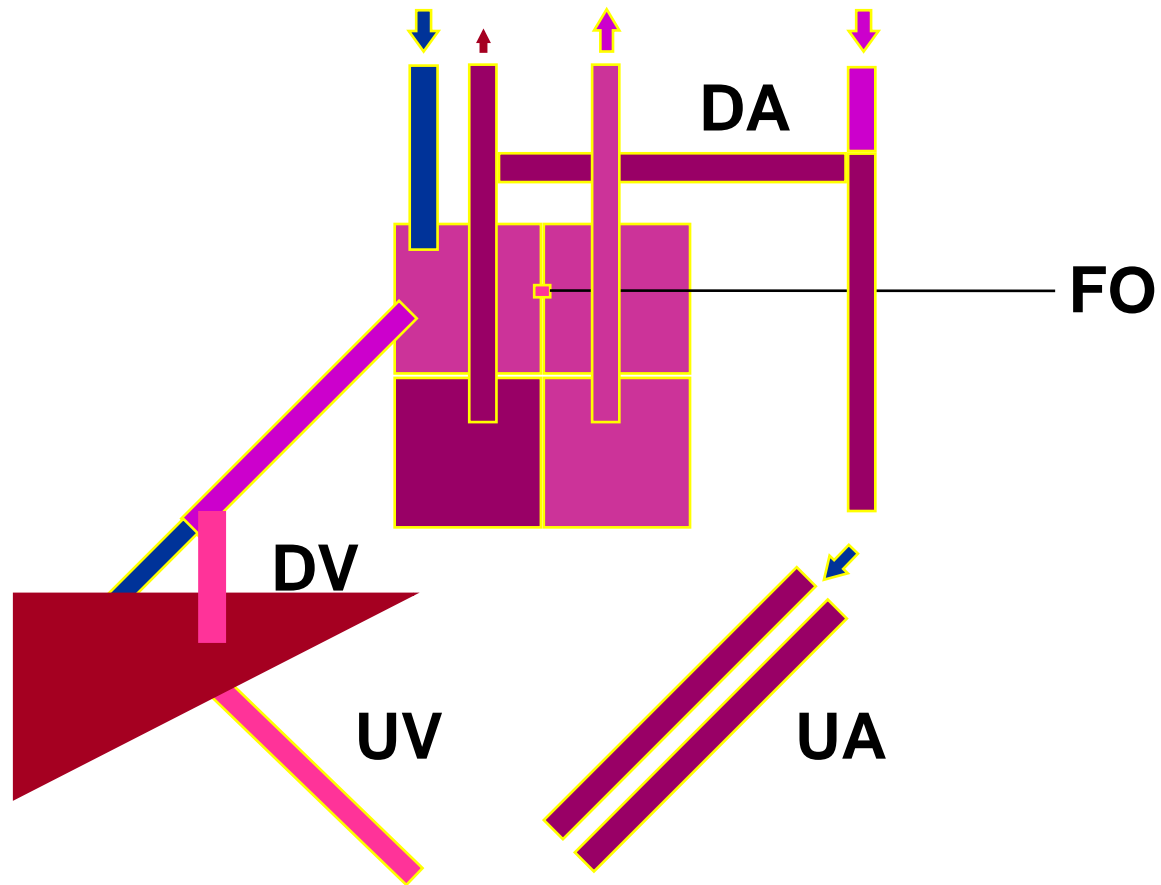
Aerace plic králíčků (RTG – fázový kontrast)



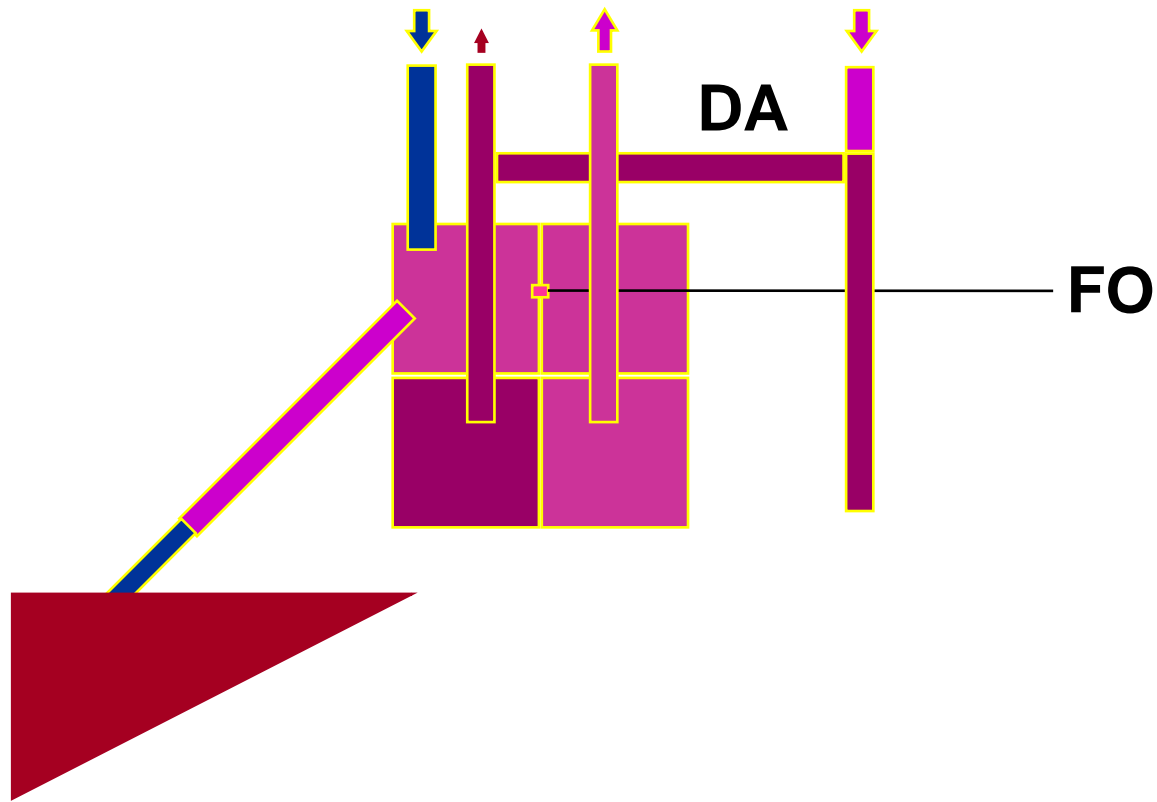
První vdechy – ustavení FRC



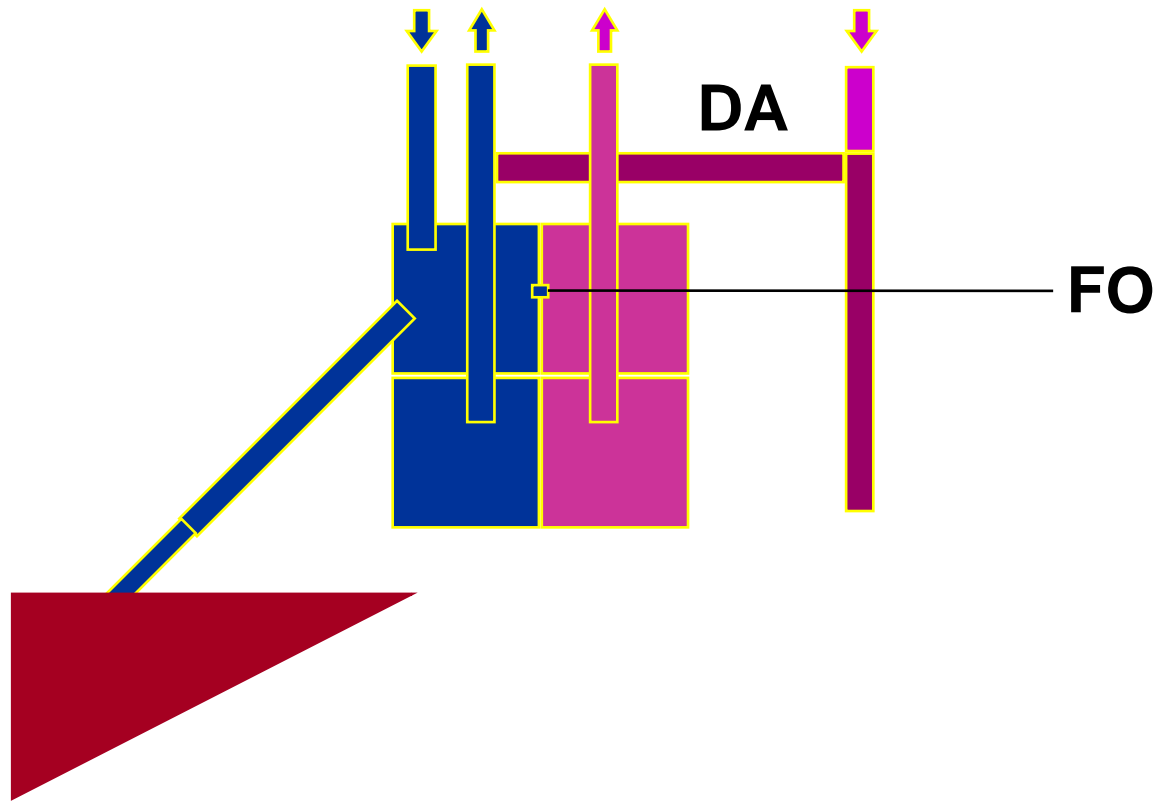
Kardiopulmonální přestavba



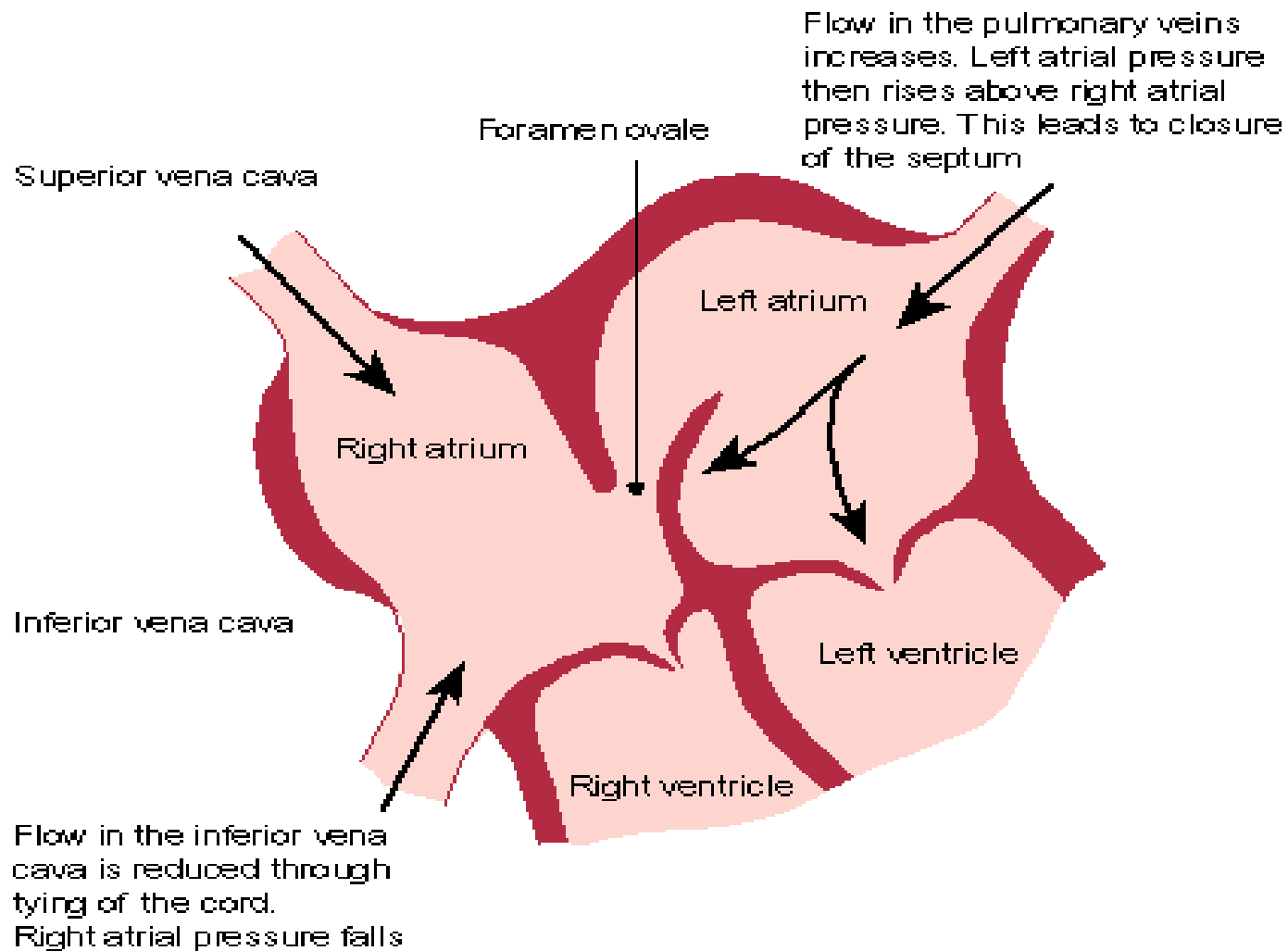
Kardiopulmonální přestavba



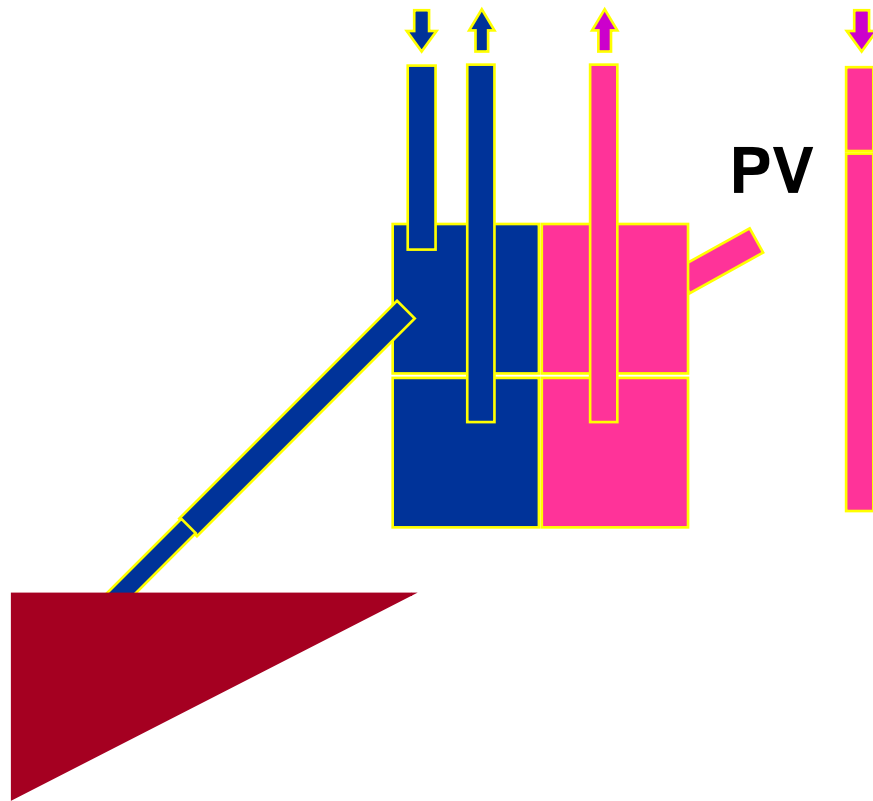
Kardiopulmonální přestavba



Kardiopulmonální přestavba



Kardiopulmonální přestavba



Faktory snižující plicní cévní rezistenci

Mechanické faktory

Aerace plic

Expanze plic

Strukturální změny cévních stěn

Intersticiální tekutina a tlakové změny

Endogenní mediátory

Vzestup p_aO_2 a pH

Vzestup prostaglandinů E_2 , I_2 , D_2 , NO

Faktory snižující plicní cévní rezistenci

M
A
E
S
I
E

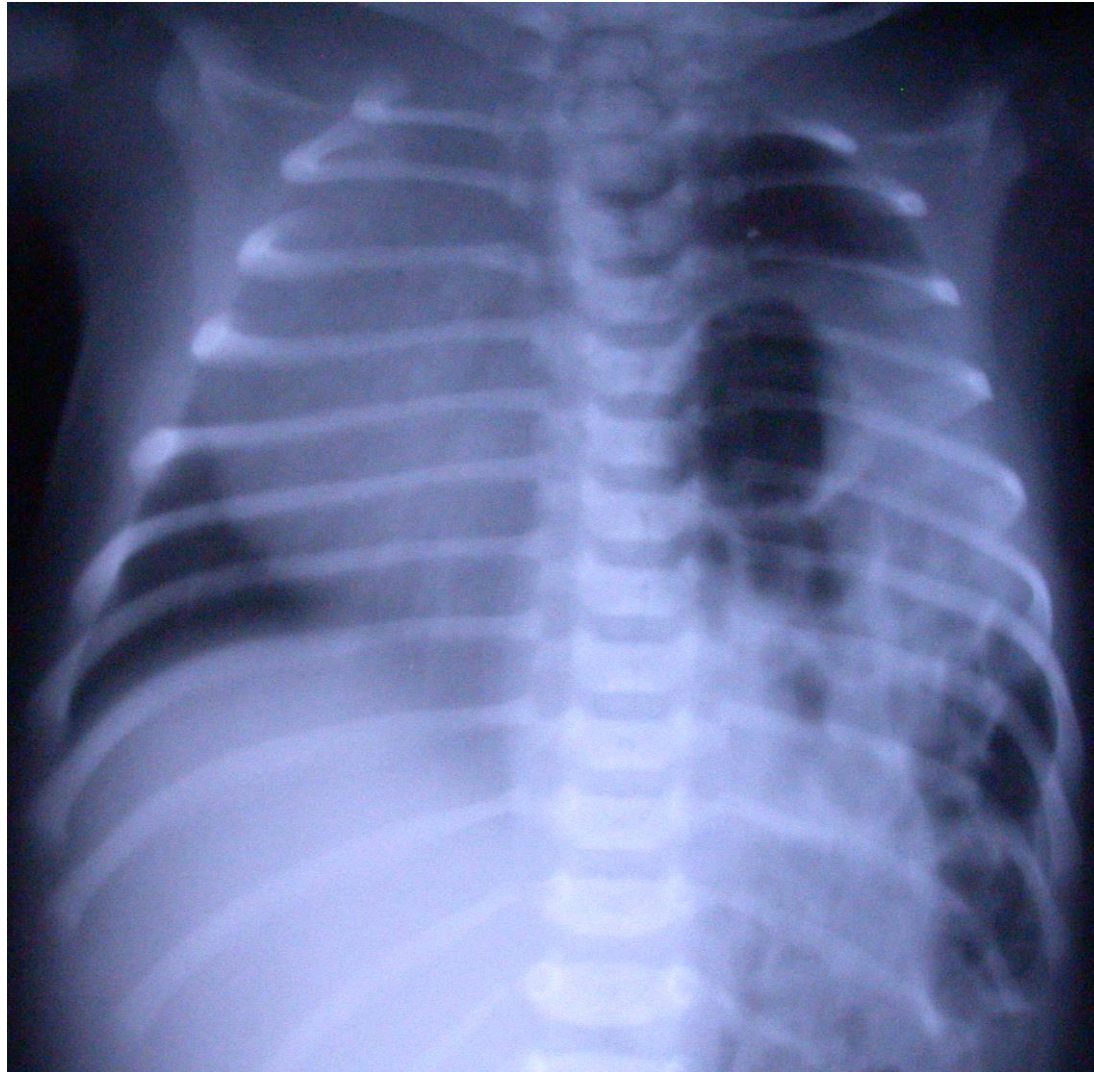
Patologie - PPHN

perzistující plicní hypertenze novorozence
(PFC – perzistující fetální cirkulace)

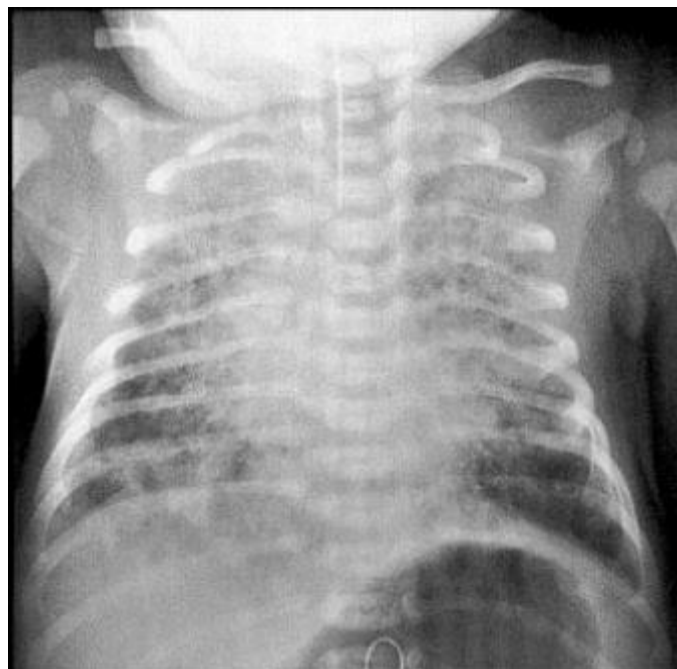
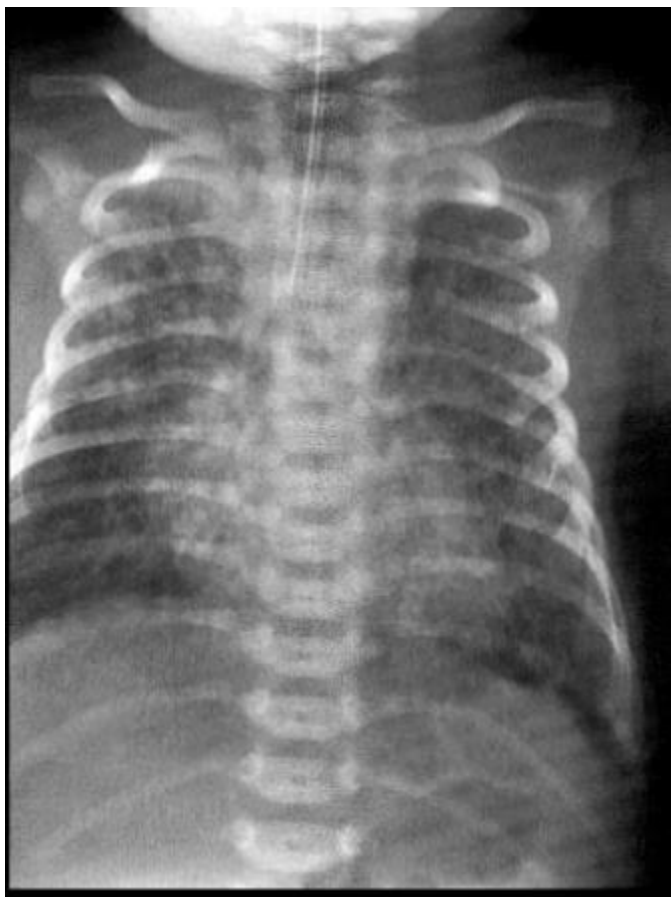
Vzestup p_aO_2 a pH

Vzestup prostaglandinů E_2 , I_2 , D_2 , NO

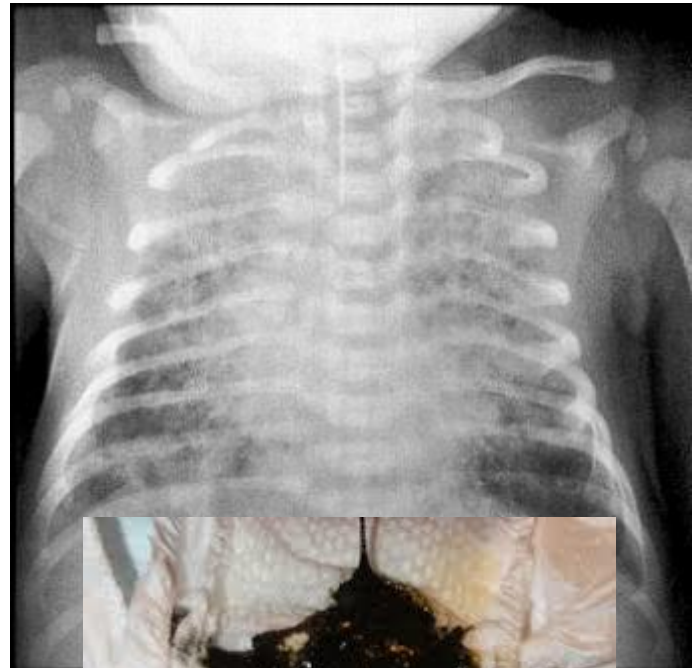
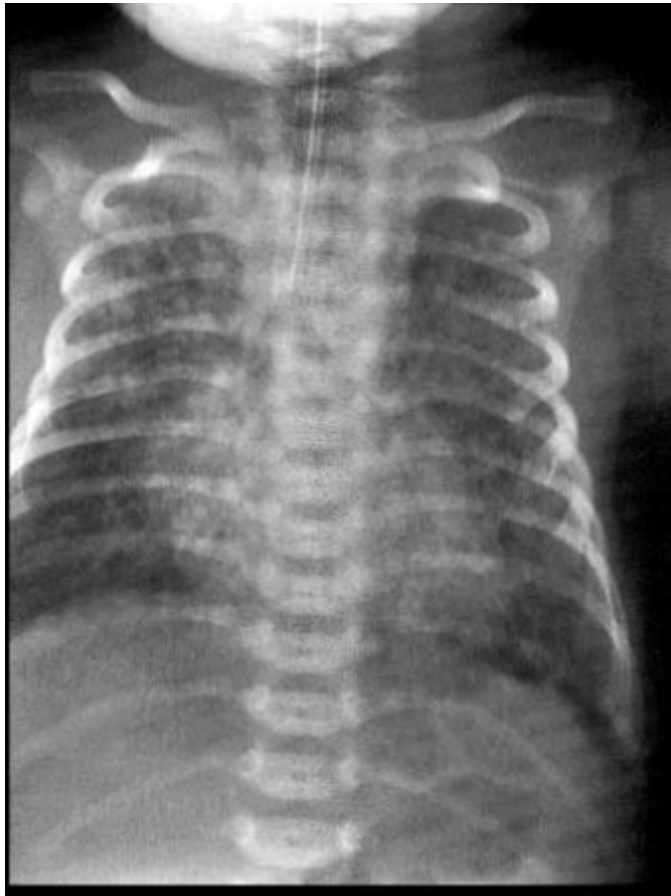
Klinické stavy spojené s PPHN



Klinické stavy spojené s PPHN



Klinické stavy spojené s PPHN



Shrnutí kardiopulmonálních změn

Aerace plic + clearance plicní tekutiny

⇒ snížení plicní vaskulární rezistence (PVR) ⇒ zvýšení průtoku krve lícemi (PBF) ⇒ zvýšení venózního návratu do levého srdce

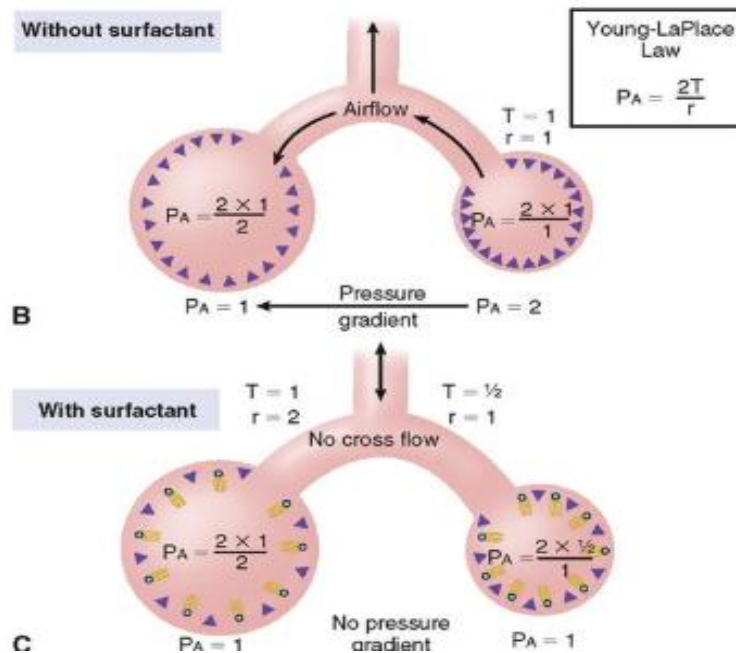
Pozdní podvaz pupečníku do spontánního dýchání ⇒ čas pro zvýšení PBF a stabilizaci cirkulace



Shrnutí kardiopulmonálních změn

Ustanovení FRC - aerace plic a clearance plicní tekutiny

Udržení FRC – surfaktant



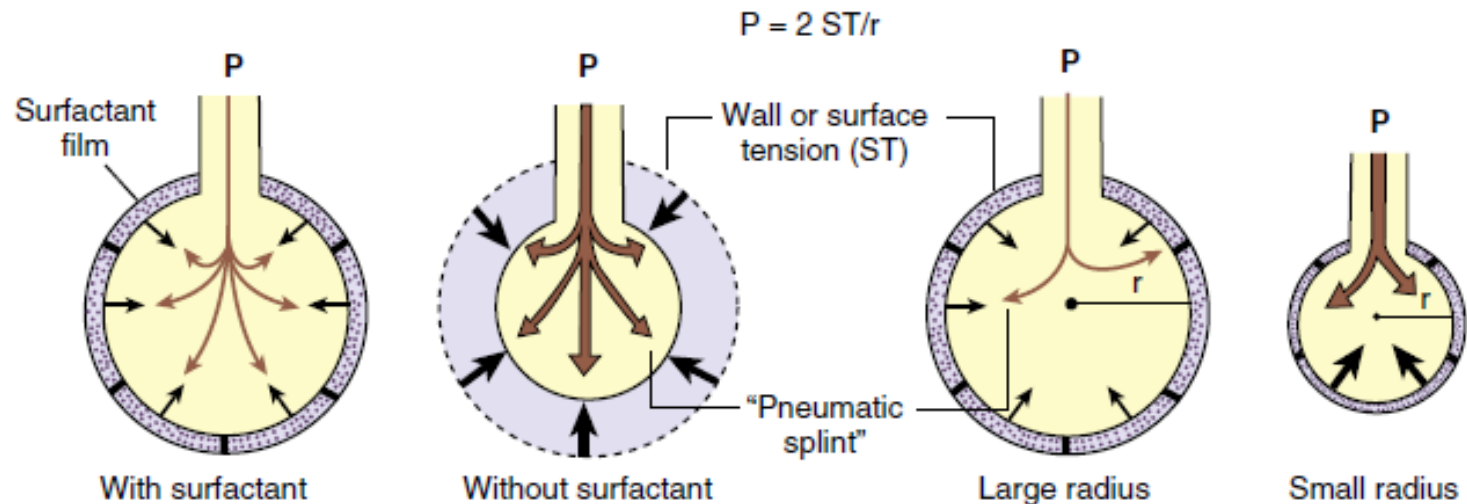
Surfaktant

Fosfolipoprotein

Tvořen pneumocyty II. řádu

Snižuje povrchové napětí

Laplaceův zákon



Tlak bránící kolapsu alveolů je přímo úměrný dvojnásobku povrchového napětí a nepřímo úměrný poloměru

Shrnutí kardiopulmonálních změn

Ustanovení FRC - aerace plic, clearance plicní tekutiny

Udržení FRC – surfaktant, PEEP

FRC+PBF \Rightarrow adekvátní výměna plynů

Zvýšení oxémie \Rightarrow uzavírání P-L zkratů

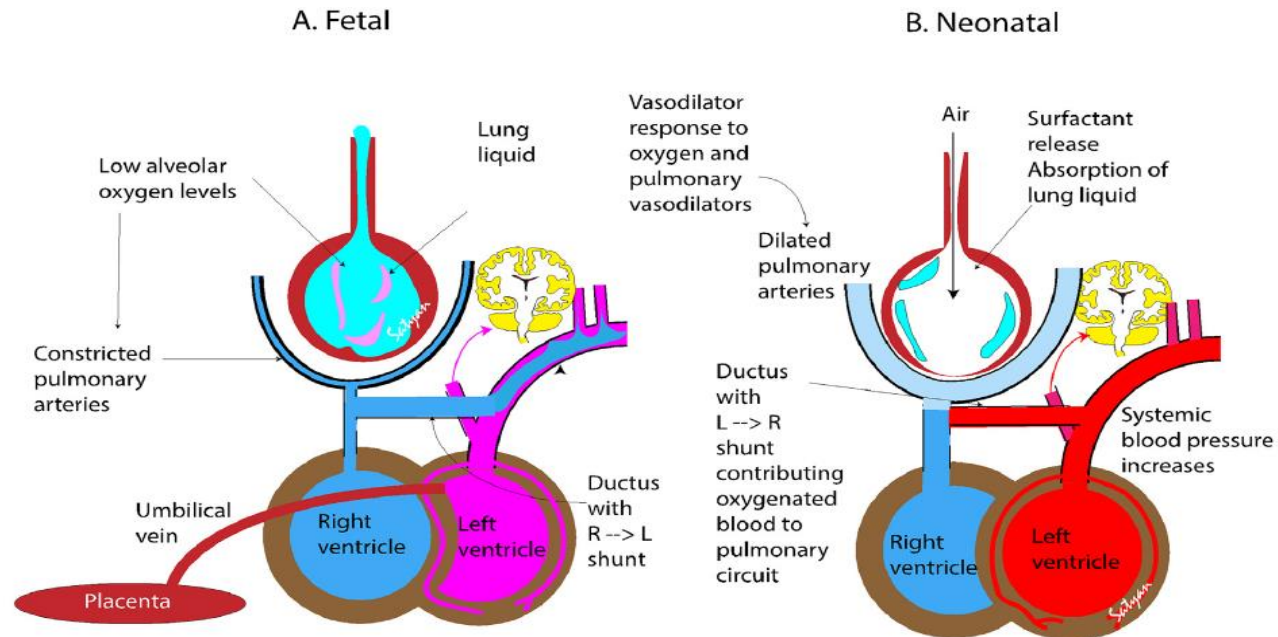


Fig. 1. Normal transition from fetal (panel A) to neonatal circulation. Copyright Dr. S. Lakshminrusimha, UC Davis.

Podpora udržení FRC distenzí - nCPAP



Umělá plicní ventilace



Fyziologické hodnoty

Akce srdeční	Dechová frekvence
100–160/min	30–60/min

Fyziologické hodnoty

Krevní tlak (50. P)

Věková skupina	Krevní tlak		
	Systolický	Střední	Diastolický
Nedonošený 26. GT	55	38	30
Donošený 40. GT	80	60	50

Teplotní regulace

Tepelné ztráty = produkce tepla

KONDUKCE

KONVEKCE

RADIACE

EVAPORACE (1 ml = 560 cal)



Teplotní regulace

Teplota po porodu = teplota mateřského jádra

Termoneutrální prostředí v 1. týdnu po porodu

nahý donošený 32–34 °C

oblečený donošený 24–27 °C

Reakce na chlad - netřesová termogeneze (hnědý tuk)

vasokonstrikce, mírný neklid, méně spánku, flekční postura

Reakce na teplo - vazodilatace, pocení (hlava, > 36. GT)

hypoaktivita, více spánku, extenční postura

Kůže

Nedonošení

**od 28. týdne krevní a lymfatické cévy,
vlasové folikuly, potní a mazové žlázy,
podpůrná tkáň**

lanugo

epidermis - málovrstevná bez stratum corneum

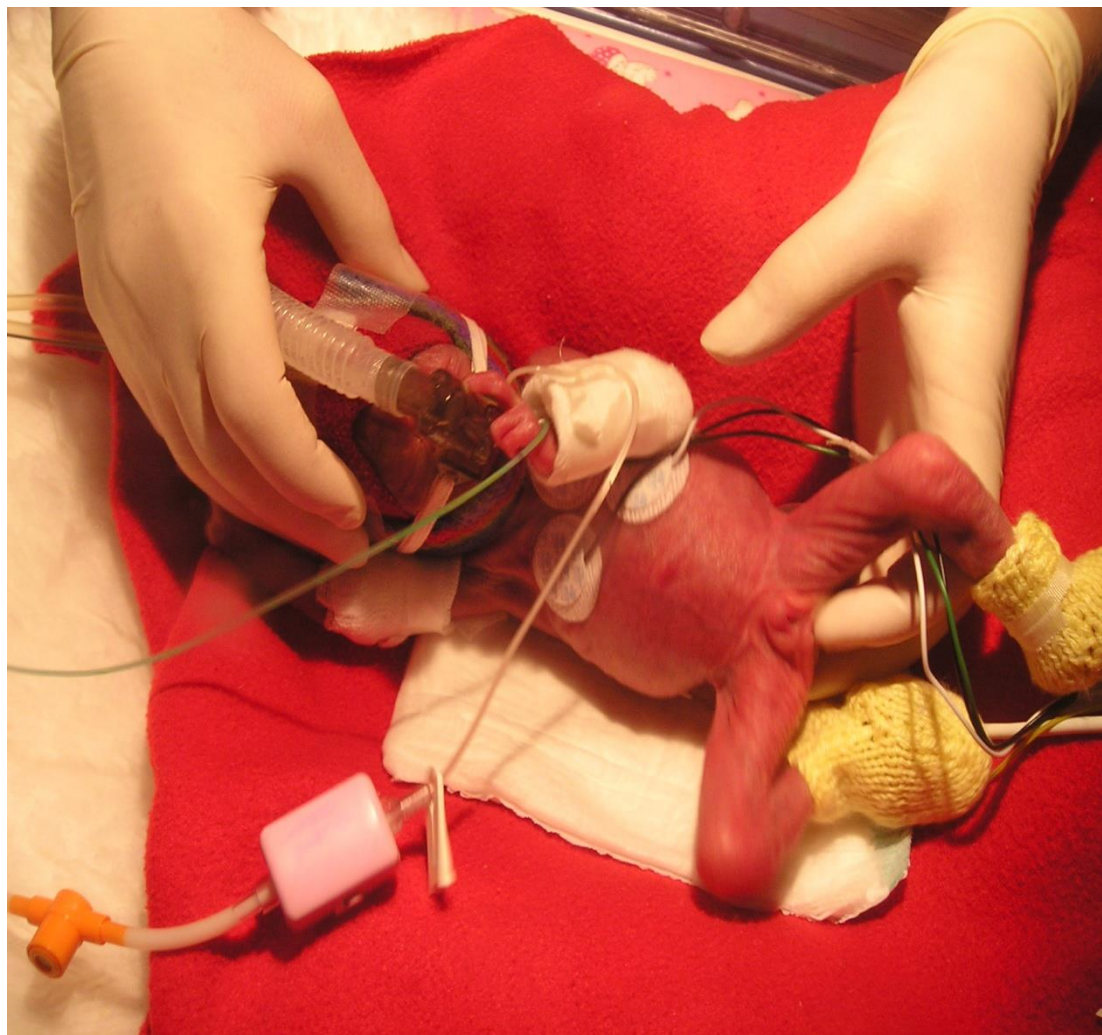
chybí podkožní tuk

Kůže extrémně nezralého novorozence po narození



Kůže extrémně nezralého novorozence

4. týden života



Kůže

Donošení

funkčně nezralá kůže

mázek - vernix caseosa

erytém

toxický exantém - akné



Kůže hraničně zralého novorozence

Po porodu



Kůže lehce nezralého novorozence

1. týden života



Kůže zralého novorozence



Kůže – toxický exantém, milia



Kůže – toxický exantém



Kůže

Vulnerabilita - fyzikální, chemická

↑ ztráty vody

↓ protiinfekční bariera

↓ alergická senzibilizace

Kůže extrémně nezralého novorozence

3. týden života - **exkoriace, erytém**



Kůže extrémně nezralého hypotrofického novorozence - **hemangiom**



Gastrointestinální trakt

Anatomická zralost ve 20. GT

diferenciace primárního střeva, rotace o 270°



Funkční zralost - diferenciace, maturace a růst střeva, pankreatu a jater ⇒ ve 33. GT schopnost zajistit nutrici

Výživa plodu - parenterální (v. umbilicalis)

enterální (plodová voda - 500–750 ml)

Výživa novorozence - enterální (MM ⇒ další vývoj GIT)

Funkční odlišnosti GIT

DIGESCE, ABSORPCE

↓ amyláza, ↓ lipáza, ↓ pankreatické enzymy

MOTILITA - motor migrating complex MMC

fetální MMC - 30.– 33. G

zralý MMC - ≥ 34 . GT

BARIÉRA ↓

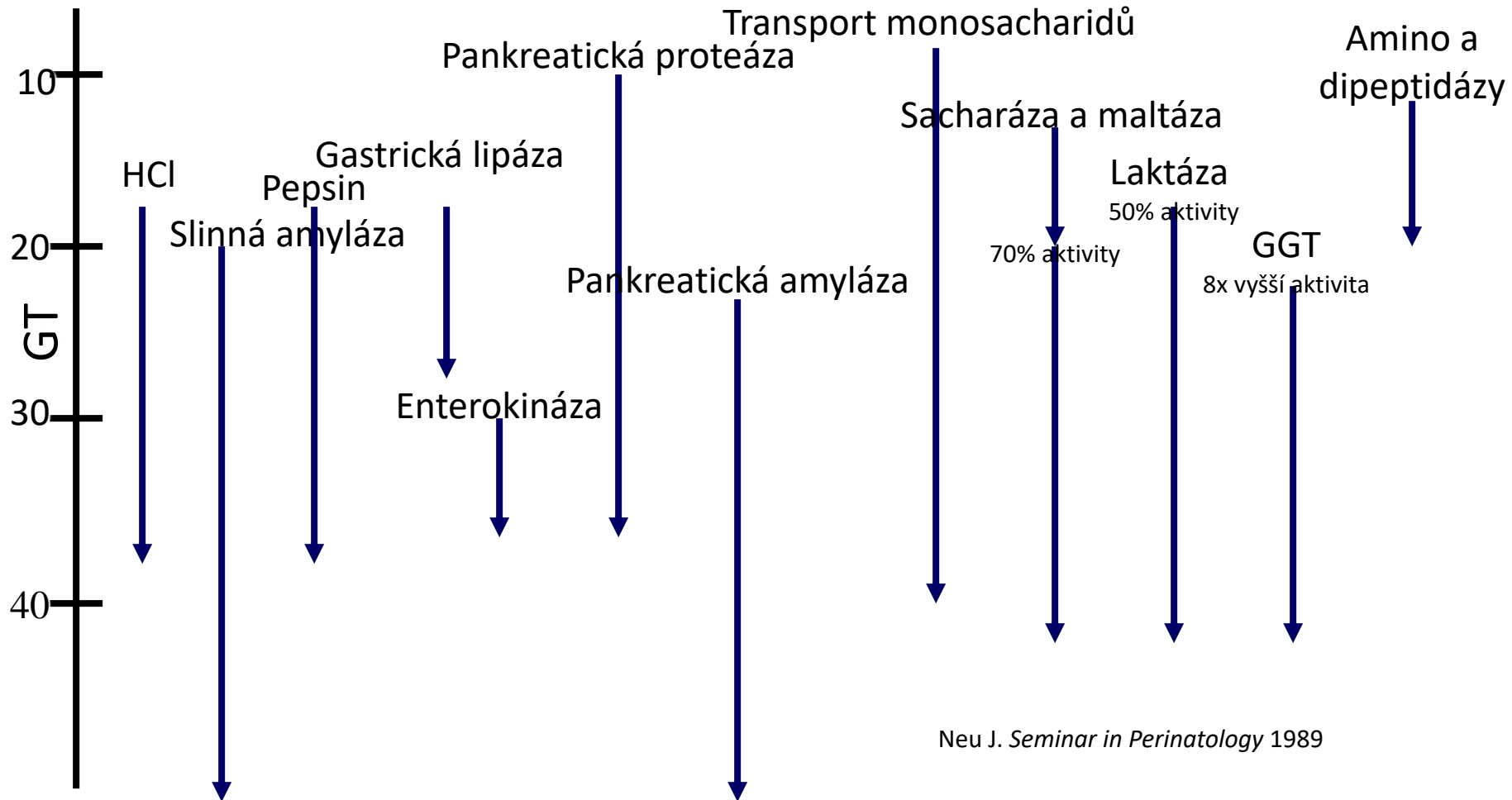
neimunní - ↓ motilita, ↓ HCl, ↓ pankreatobiliární sekrety

x faktory MM, probiotika, prebiotika (oligosacharidy)

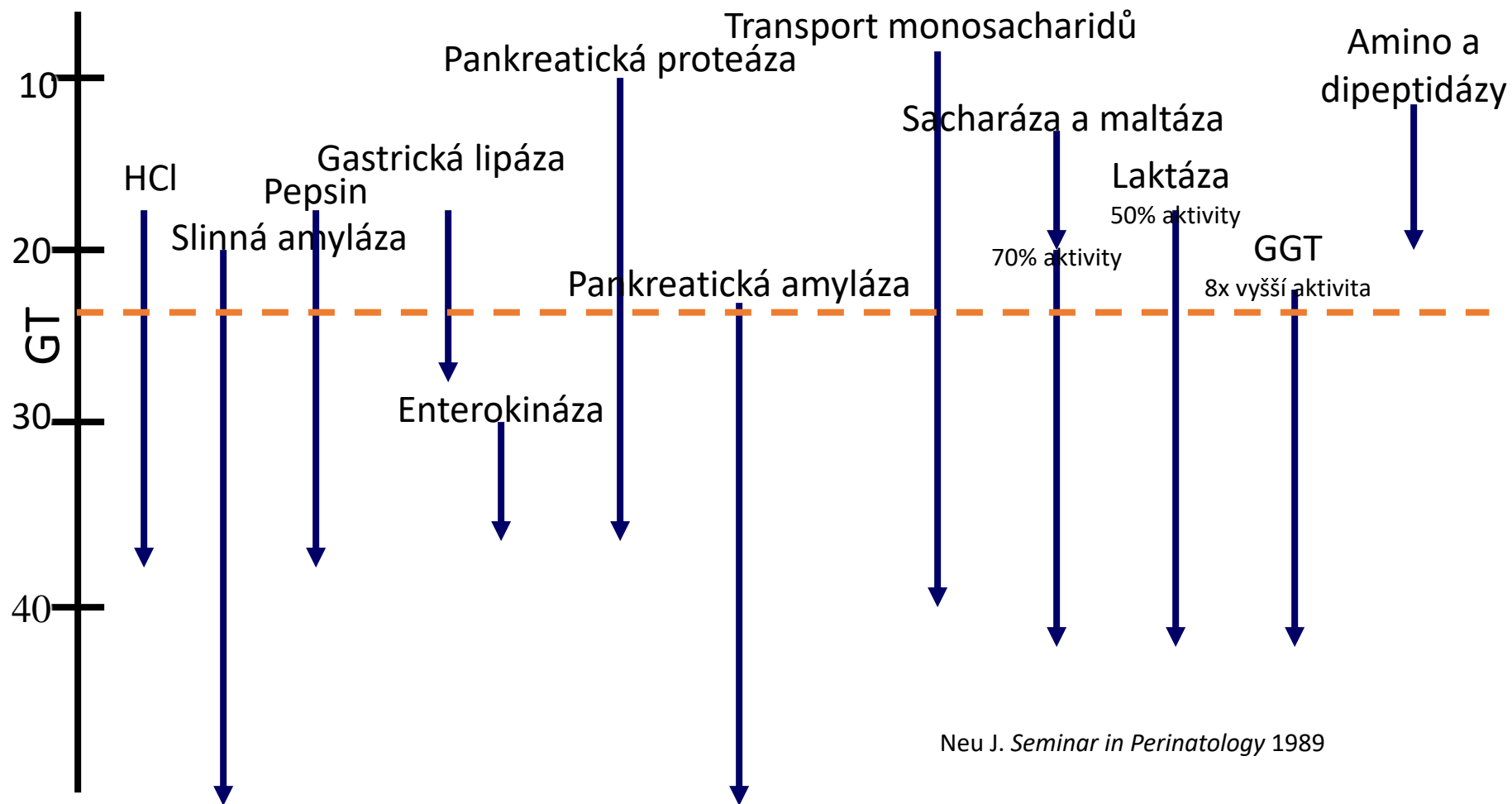
imunní - ↓ sIgA

x faktory MM (sIgA, makrofágy, lymfocyty, komplement)

Digestce a absorpce



Digestce a absorpce



Motilita

Nekoordinované náhodné kontrakce od 25. GT

Fetální komplexy ve 30. GT

Zralý MMC ve 34. GT

↓ tonus dolního ezofageálního sfinkteru

před 29. GT 4 mmHg, ve 40. GT 18 mmHg

Gastroanální tranzit 8–96 hodin

hlavní faktor intolerance stravy
u nezralých



Sání a polykání

Přichycení a uchopení prsu rty od 28. GT

Nonnutritivní sání z prsu ve 29.–30. GT

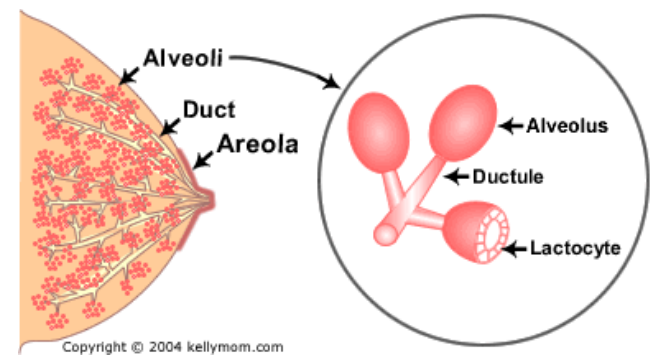
Nutritivní sání od 31.–32. GT

Koordinace sání a polykání ve 34. GT

Plné kojení od 33.–39. GT



Laktogeneze



Syntéza mléka v laktocytech ze substrátů difundovaných z krve (glukosa, aminokyseliny, mastné kyseliny, minerály, vitaminy)

Složení

- **Proteiny:** syrovátka, kasein, muciny (alpha-laktalbumin, imunoglobuliny, albumin, laktoferrin, lysozym,...)
- Nonproteinový dusík: AMK, urea, kys. močová, kreatinin, nukleotidy, enzymy, hormony, růstové faktory,...)
- **Tuky** (triglyceridy, mastné kyseliny)
- **Cukry** (laktosa, glukosa, galaktosa, oligosacharidy)
- **Minerály, ionty, stopové prvky, vitaminy, voda**

Laktogeneze

Laktogeneze I

od ½ těhotenství diferenciace epiteliálních buněk alveolů v sekreční laktocyty
tvorba kolostra

Laktogeneze II

2. (3.) – 8. den po porodu

Laktogeneze III

galaktopoeza – zralé mléko



Složení zralého mateřského mléka

Nutriční složky ve 100 ml zralého MM

bílkoviny 0,9-1,2 g

cukry 6,7– 7,2 g

tuky 3,5– 4,2 g

energie 67 kcal

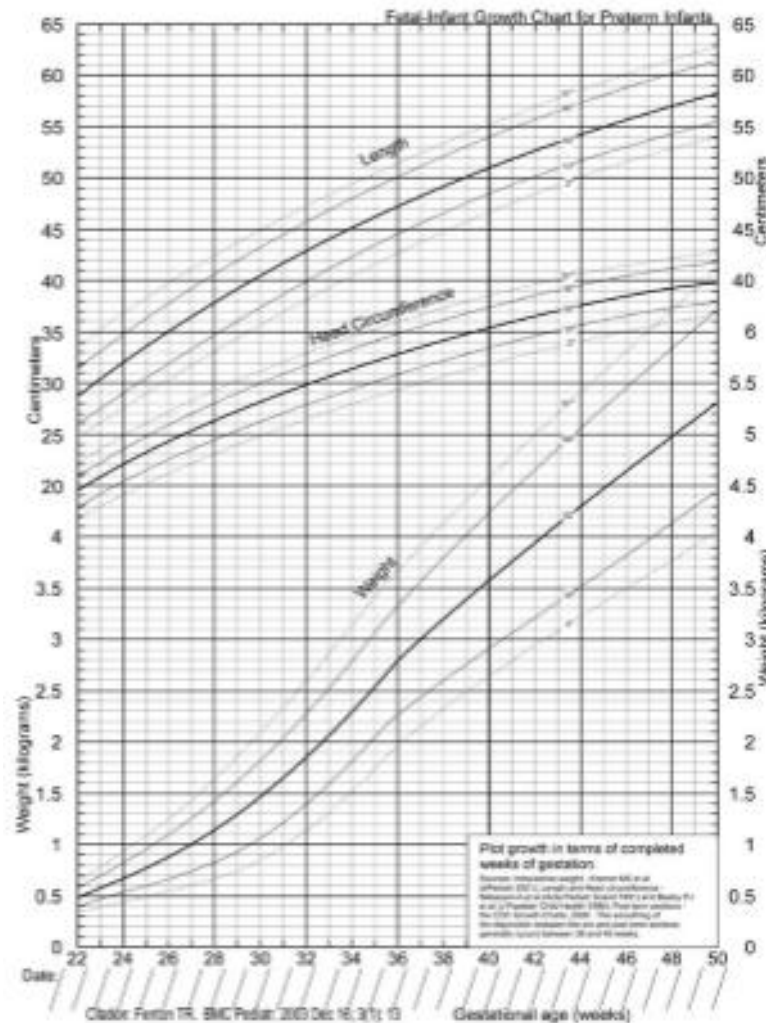
1,5 g bílkovin
/100 kcal



3-4 g/100 ml

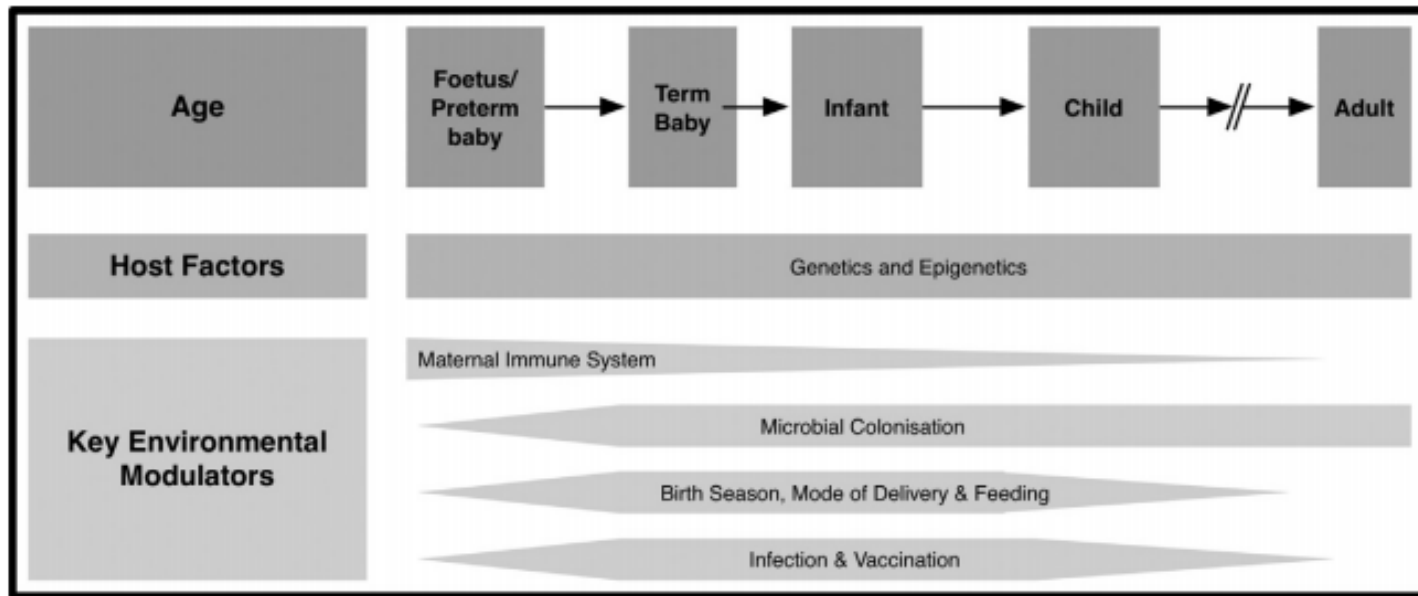
10 g/100 ml

Růst – růstový graf



Imunita plodu a novorozence

„Nezralý“ imunitní systém novorozence – evoluční adaptace na přechod z relativně více tolerujícího intrauterinního k postnatálnímu fenotypu schopnému rozeznávat „hodné“ mikroby od patogenů



Imunita plodu a novorozence

Intrauterinně:

ochrana plodu před bakteriální infekcí plodovými obaly, placentou a antibakteriálními faktory plodové vody X **placentární mikrobiota**

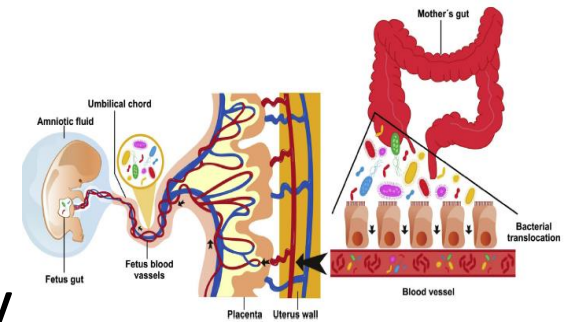
Po porodu:

Vrozená imunita – první linie obrany

Biologické bariéry – kůže, GIT

↓ funkce

arteficiální vstupy - vpichy, kanyly, CŽK, ETC



Imunita novorozence

Adaptivní imunita

Minimální preexpozice patogenům

Nezralost T a B lymfocytů - snížená tvorba protilátek

Chybění imunitní paměti

Regulovaná neodpovídavost – zábrana poškození vlastních tkání

X ↑ riziko infekce

Imunita plodu a novorozence

IgG - od 8. GT transplacentárně

IgM - produkce od 30. GT po stimulaci antigenem

Pasivní imunoprotekce – imunoglobuliny v MM

sIgA - tvorba ve střevě od 4. týdne

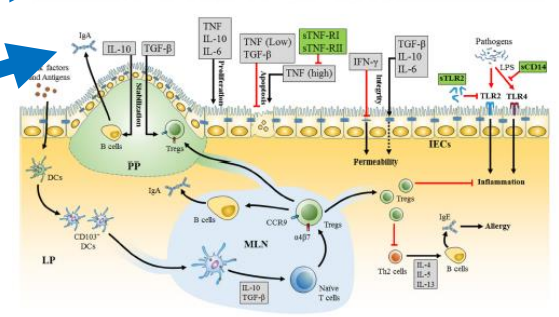
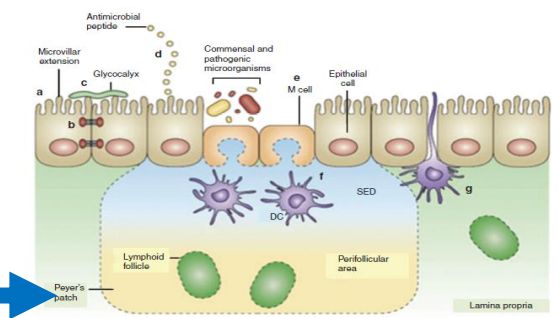
sIgM, IgG, IgA

Vývoj imunity novorozence

Komplexní interakce mezi MM, střevním prostředím a vyvíjejícím se imunitním systémem

Table 2. Major Immunomodulatory components detected in colostrum and BM

Cellular components	Humoral components	Cell signalling molecules	Other components
Macrophages [36]	Antibodies	Cytokines	Hormones
Neutrophils [36]	IgA [69, 72, 73, 75-77, 127, 146]	IL-1 [35, 120] IL-2 [35, 79, 124, 147] IL-3 [35] IL-4 [30, 35, 50, 68, 80-82, 124, 125, 147]	Leptin [120] β -endorphin [120]
Dendritic cells [36]	IgG [69, 146]	IL-5 [35, 50, 68, 80] IL-6 [31, 35, 50, 68, 80, 122, 124, 131]	Lipid and carbohydrate components
B2M, HLA-DRB5, C4A, CFB, ANPEP, CTSS, ERAPI [35]	IgM [69, 76, 146]	IL-7 [35] IL-8 [31, 35, 68, 122, 147] IL-10 [30, 35, 50, 68, 73, 75, 80-83, 122, 124, 125, 131, 137, 147-149]	n-3 and n-6 polyunsaturated fatty acids [48, 52, 83, 113, 124, 129, 155, 156]
MFGM [61, 63]	Antigens	IL-12 [35, 83] IL-13 [30, 35, 50, 68, 80, 122, 131] IL-15 [35, 92] IL-16 [35, 68]	Prostaglandin E2 [125]
Exosomes [67]	β -lactoglobulin [73]	TNF- α [75, 122, 124, 125, 131, 148, 150] IFN- γ [30, 35, 50, 68, 76, 80, 82, 124, 131, 147]	Oligosaccharides [104, 108, 109]
Bacteria and their components [143-145]	Ovalbumin [73]	Chemokines	Protease inhibitors
		Eotaxin [68] RANTES [68, 147]	CST3 [46, 47] SERPIN-A1, A3, B1, C1, G1 [46, 47] SPINT1 [46, 47]
		MCP-1 [151] MIP-1 α [82]	Other
		Growth factors	Coenzyme A [157] β -casomorphin [158]
		TGF- β 1 [30, 31, 35, 50, 68, 72, 75-77, 80, 81, 83, 122, 127, 131, 137, 148, 149, 152, 153]	sCD14 [8, 31, 72, 75, 77, 83, 131, 148, 153]
		TGF- β 2 [30, 31, 35, 50, 52, 68, 72, 73, 75, 77, 80, 122, 125, 127, 152] TGF- β 3 [35]	
		EGF [122]	
		HGF [49, 154]	



Munblit et al. *Clin Exp Allergy* 2014
 Milani et al. *Microbiol Mol Biol Rev* 2017
 Artis *Nat Rev Immunol* 2008
 Dawod D and Marshall JS. *Front Immunol* 2019

Význam MM

Komplexní působení mateřského mléka na zdraví dítě

Nejen potravina

Bioaktivní tekutina

Imunologický potenciál

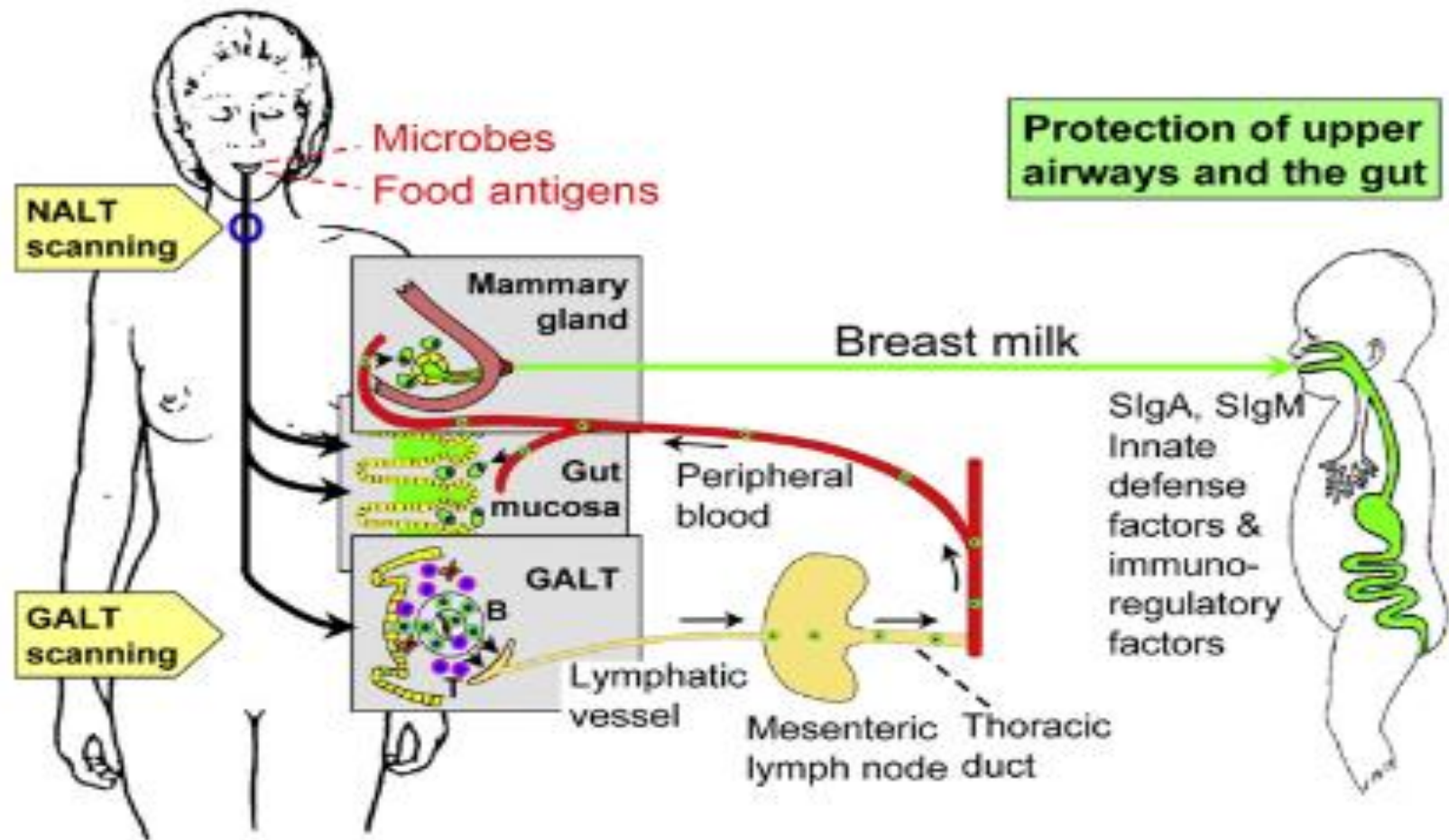
Table 2. Major Immunomodulatory components detected in colostrum and BM

Cellular components	Humoral components	Cell signalling molecules	Other components
Macrophages [36]	<i>Antibodies</i>	<i>Cytokines</i>	<i>Hormones</i>
Neutrophils [36]	IgA [69, 72, 73, 75–77, 127, 146]	IL-1 [35, 120] IL-2 [35, 79, 124, 147] IL-3 [35] IL-4 [30, 35, 50, 68, 80–82, 124, 125, 147]	Leptin [120] β -endorphin [120]
Dendritic cells [36]	IgG [69, 146]	IL-5 [35, 50, 68, 80] IL-6 [31, 35, 50, 68, 80, 122, 124, 131]	<i>Lipid and carbohydrate components</i>
B2M, HLA-DRB5, C4A, CFB, ANPEP, CTSS, ERAP1 [35]	IgM [69, 76, 146]	IL-7 [35] IL-8 [31, 35, 68, 122, 147] IL-10 [30, 35, 50, 68, 73, 75, 80–83, 122, 124, 125, 131, 137, 147–149]	n-3 and n-6 polyunsaturated fatty acids [48, 52, 83, 113, 124, 129, 155, 156]
MFGM [61, 63]	<i>Antigens</i>	IL-12 [35, 83] IL-13 [30, 35, 50, 68, 80, 122, 131] IL-15 [35, 92] IL-16 [35, 68]	Prostaglandin E2 [125]
Exosomes [67]1	β -lactoglobulin [73]	TNF- α [75, 122, 124, 125, 131, 148, 150] IFN- γ [30, 35, 50, 68, 76, 80, 82, 124, 131, 147]	Oligosaccharides [104, 108, 109]
Bacteria and their components [143–145]	Ovalbumin [73]	<i>Chemokines</i> Eotaxin [68] RANTES [68, 147] MCP-1 [151] MIP-1 α [82] <i>Growth factors</i> TGF- β 1 [30, 31, 35, 50, 68, 72, 75–77, 80, 81, 83, 122, 127, 131, 137, 148, 149, 152, 153] TGF- β 2 [30, 31, 35, 50, 52, 68, 72, 73, 75, 77, 80, 122, 125, 127, 152] TGF- β 3 [35] EGF [122] HGF [49, 154]	<i>Protease inhibitors</i> CST3 [46, 47] SERPIN-A1, A3, B1, C1, G1 [46, 47] SPINT1 [46, 47] <i>Other</i> Coenzyme A [157] β -casomorphin [158] sCD14 [8, 31, 72, 75, 77, 83, 131, 148, 153]

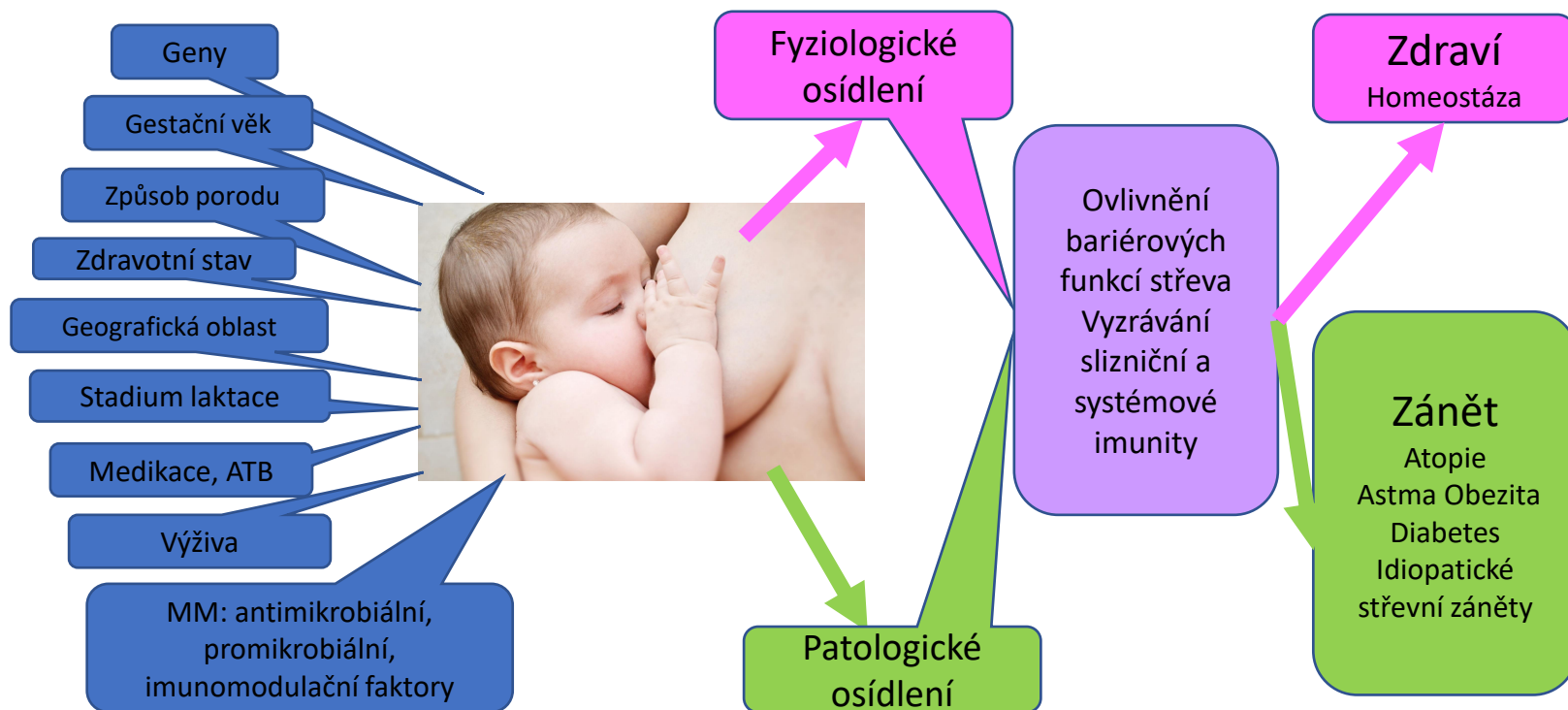
Table 2. Major Immunomodulatory components detected in colostrum and BM

Cellular components	Humoral components	Cell signalling molecules	Other components
Macrophages [36]	<i>Antibodies</i>	<i>Cytokines</i>	<i>Hormones</i>
Neutrophils [36]	IgA [69, 72, 73, 75–77, 127, 146]	IL-1 [35, 120] IL-2 [35, 79, 124, 147] IL-3 [35] IL-4 [30, 35, 50, 68, 80–82, 124, 125, 147]	Leptin [120] β -endorphin [120]
Dendritic cells [36]	IgG [69, 146]	IL-5 [35, 50, 68, 80] IL-6 [31, 35, 50, 68, 80, 122, 124, 131]	<i>Lipid and carbohydrate components</i>
B2M, HLA-DRB5, C4A, CFB, ANPEP, CTSS, ERAP1 [35]	IgM [69, 76, 146]	IL-7 [35] IL-8 [31, 35, 68, 122, 147] IL-10 [30, 35, 50, 68, 73, 75, 80–83, 122, 124, 125, 131, 137, 147–149]	n-3 and n-6 polyunsaturated fatty acids [48, 52, 83, 113, 124, 129, 155, 156]
MFGM [61, 63]	<i>Antigens</i>	IL-12 [35, 83] IL-13 [30, 35, 50, 68, 80, 122, 131] IL-15 [35, 92] IL-16 [35, 68]	Prostaglandin E2 [125]
Exosomes [67]1	β -lactoglobulin [73]	TNF- α [75, 122, 124, 125, 131, 148, 150] IFN- γ [30, 35, 50, 68, 76, 80, 82, 124, 131, 147]	Oligosaccharides [104, 108, 109]
Bacteria and their components [143–145]	Ovalbumin [73]	<i>Chemokines</i> Eotaxin [68] RANTES [68, 147] MCP-1 [151] MIP-1 α [82] <i>Growth factors</i> TGF- β 1 [30, 31, 35, 50, 68, 72, 75–77, 80, 81, 83, 122, 127, 131, 137, 148, 149, 152, 153] TGF- β 2 [30, 31, 35, 50, 52, 68, 72, 73, 75, 77, 80, 122, 125, 127, 152] TGF- β 3 [35] EGF [122] HGF [49, 154]	<i>Protease inhibitors</i> CST3 [46, 47] SERPIN-A1, A3, B1, C1, G1 [46, 47] SPINT1 [46, 47] <i>Other</i> Coenzyme A [157] β -casomorphin [158] sCD14 [8, 31, 72, 75, 77, 83, 131, 148, 153]

Imunita – dyáda matka-dítě



Faktory ovlivňující mikrobiotu MM a způsob ovlivnění mikrobioty střeva a zdraví dítěte



Vliv MM na imunitu dítěte

Pasivní imunoprotekce: substituce chybějících obranných faktorů

Aktivní působení:

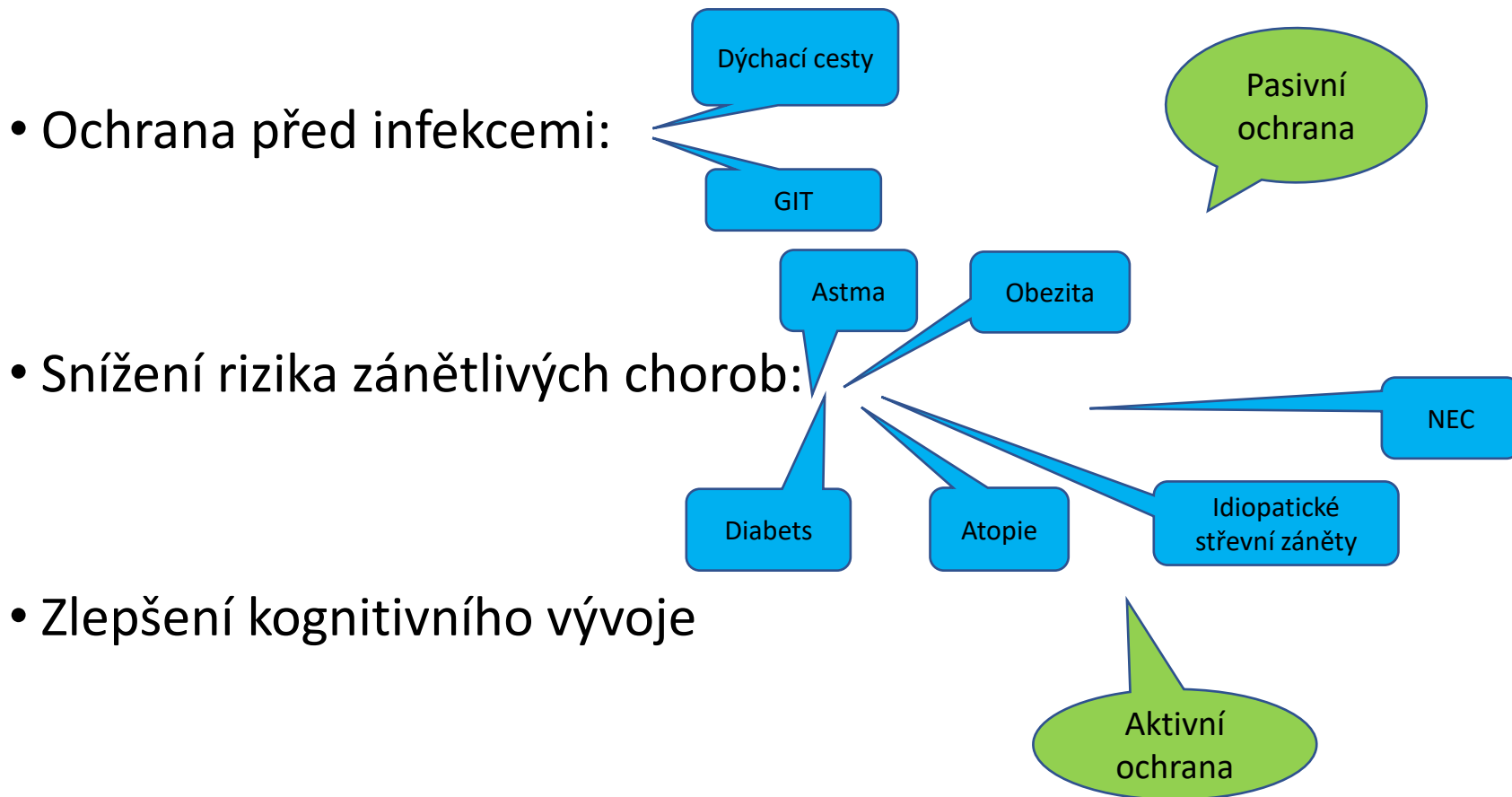
- Vliv na vyzrávání bariérové funkce střevní sliznice
- Vliv na slizniční a systémovou imunitní maturaci

Přímé působení

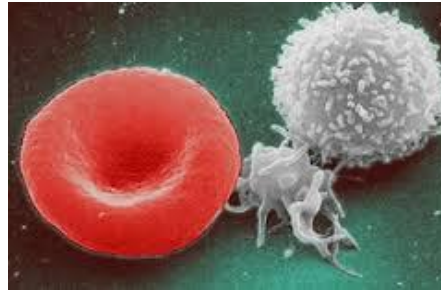
The diagram consists of two green rounded rectangular boxes connected by a vertical line. The top box contains the text 'Přímé působení'. The bottom box contains the text 'Nepřímý vliv modulate složení střevní mikrobioty'. A vertical line connects the bottom of the top box to the top of the bottom box, with a small triangular shape at the top of the bottom box pointing upwards towards the bottom of the top box.

Nepřímý vliv
modulace složení
střevní mikrobioty

Potvrzené klinické efekty kojení



Hematologie



Červená řada

Erythrocyty $5 \times 10^{12}/l$

Hb 150–230 g/l, Hct 0,45–0,75

retikulocyty 3–10%, normoblasty 7/100 leukocytů

HbF -77%

přežívání 45–70 dnů



Anémie – žilní Hb < 130 g/l

Fyziologická anémie donošených v 8.–12. t. (110 g/l)

Anémie nedonošených ve 4.–8. t. (70–90 g/l)

Polycytemie - žilní Hct > 0,65

Hyperviskózní syndrom

Hyperbilirubinemie

Indikační graf pro léčbu hyperbilirubinémie u novorozenců

skupina pásmo	Donošení (týden těhotenství ≥ 37)			Nedonošení (týden těhotenství < 37)	
	Rh	AB0	bez	Rh	Bez (AB0)
V	VT	VT (FT)	FT (VT)	VT	VT
IV	VT (FT)	FT	FT	VT	FT (VT)
III	FT	B TKI opak.	B TKI opak.	FT (VT)	FT
II	B	TKI 2xd. B	TKI 2xd.	FT	B
I	B	TKI 1xd.	<u>TKI</u> 1xd.)	B	B

Poznámky:

FT ~ fototerapie

~ o jedno pásmo dříve u nedonošených (t. t. ≤ 31) a při RDS

~ při indikaci k VT po dobu přípravy výkonu

~ vždy po VT

(FT) ~ terapeutický pokus (12–24 hodin), při neúspěchu VT

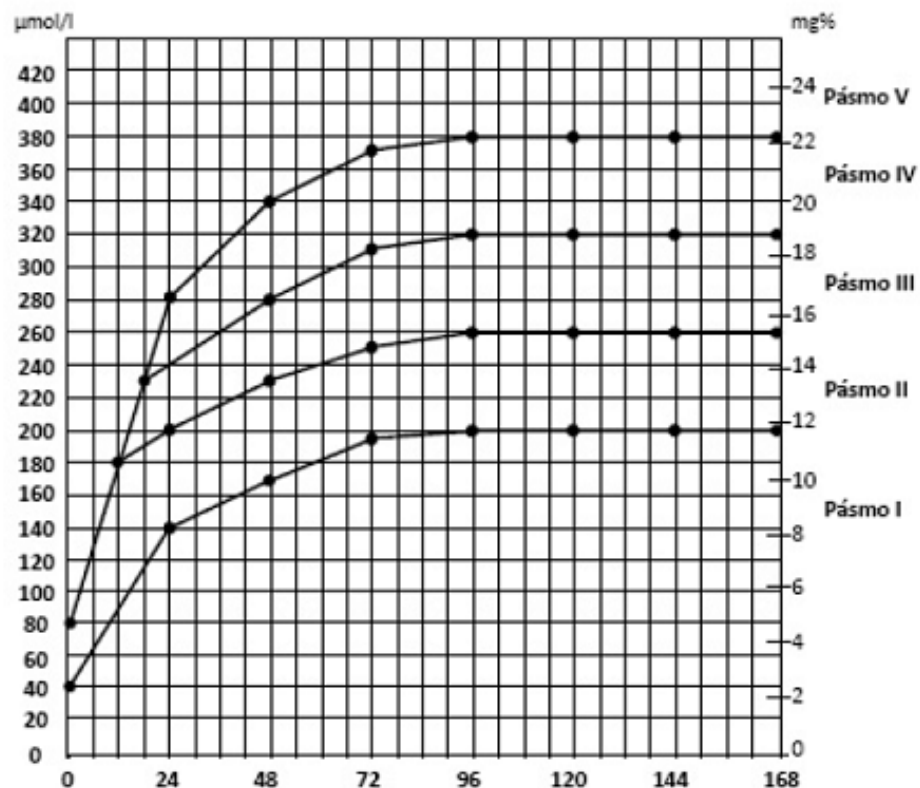
VT ~ výměnná transfuze

~ opakování – indikace stejné jako první VT

(VT) ~ výjimečně při selhání fototerapie

TKI ~ transfuzní ikterometrie

B ~ vyšetření bilirubinémie

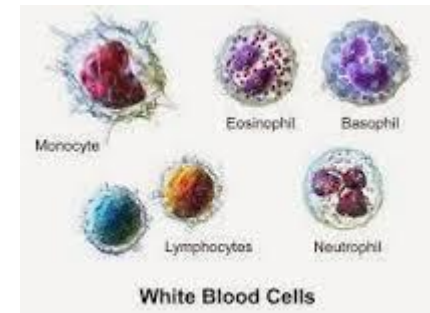


Hodrův – Poláčkův graf

Hematologie

Bílá řada

Leukocyty $9-30 \times 10^9/l$, konec 1. t. $12 \times 10^9/l$



Diferenciální rozpočet:

Neutrofily 60% → 45% 1 týden → 35% 1 měsíc

Lymfocyty 30% → 40% 1 týden → 55% - 1 měsíc

překřížení

Hemostáza

Trombocyty

normální počet $150\text{--}400 \times 10^9/l$

nižší funkční zralost



Koagulační systém

Prokoagulační faktory - ↓ hodnoty zejména vit. K dependentních faktorů
II, VII, IX, X

Prokoagulační inhibitory - ↓ ATIII, protein C, S

Hemostáza

asi 50% aktivita faktorů

⇒ **prodloužení koagulačních testů**

Hemorhagická nemoc novorozence

časná forma - 1. den (medikace matky)

klasická forma - 2.–7. den (inadekvátní příjem vitamínu K)

pozdní forma - 2. týden–6. měsíc (inadekvátní příjem vit. K
hepatobiliární onemocnění)

DIC - za patologických stavů

Uropoetický systém

Glomerulární funkce

Glomerulární filtrace

počátek mezi 8.-10. GT

Od 34. GT \uparrow GF s gestačním stářím a postnatálním věkem

Nefronogeneze kompletní ve 36. GT

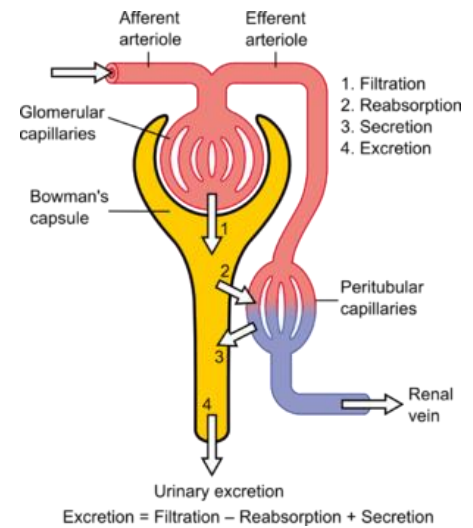
\uparrow systémového TK, \downarrow cévní rezistence ve splachniku

Vyžívání do 5.–8. týdne po porodu (u nezralých déle)

Ve 28. GT 10 ml/min/1,73 m²

Ve 40. GT 30 ml/min/1,73 m² (0,08–0,66 ml/s/1,73 m²)

Kojenec 0,5–1 ml/min/kg



Povrch těla 0,25 m²

Uropoetický systém

Tubulární funkce

Funkční nezralost tubulů

Kratší Henleova klička

↓ Tonicita dřeně (anabolismus - nižší produkce urey)

↓ Exprese aquaporinů

⇒ snížená koncentrační schopnost

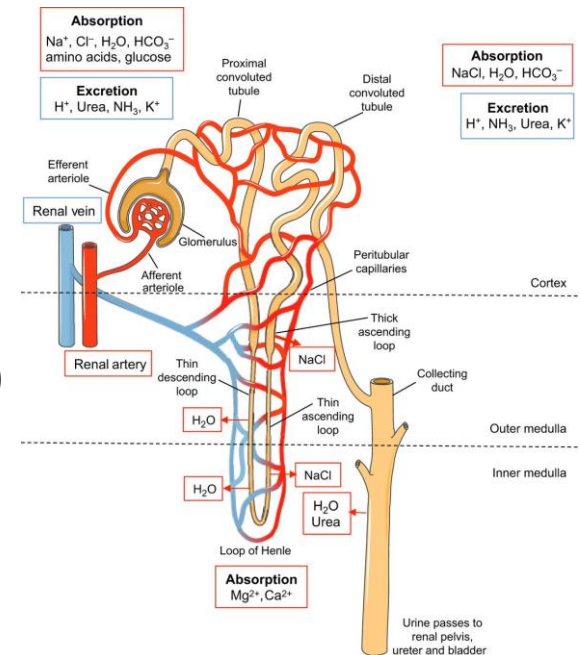
Maximální osmolalita 600–800 mOsm/kg

↓ schopnost udržet volum a složení tělesných tekutin

Diluční schopnost – 50 mOsm/kg

Diuréza 1–12 ml/kg/hod k vyloučení renální solutové nálože (10–15 mOsm/kg)

Donošený kojený novorozenec: diuréza 3 ml/kg/hod, osmolalita moče 200–400 mOsm/kg)



Uropoetický systém

**Funkce ledvin optimální pro retenci solutů nutných pro růst,
ne pro exkreci**

Při přerušení růstu (infekce) porucha homeostázy

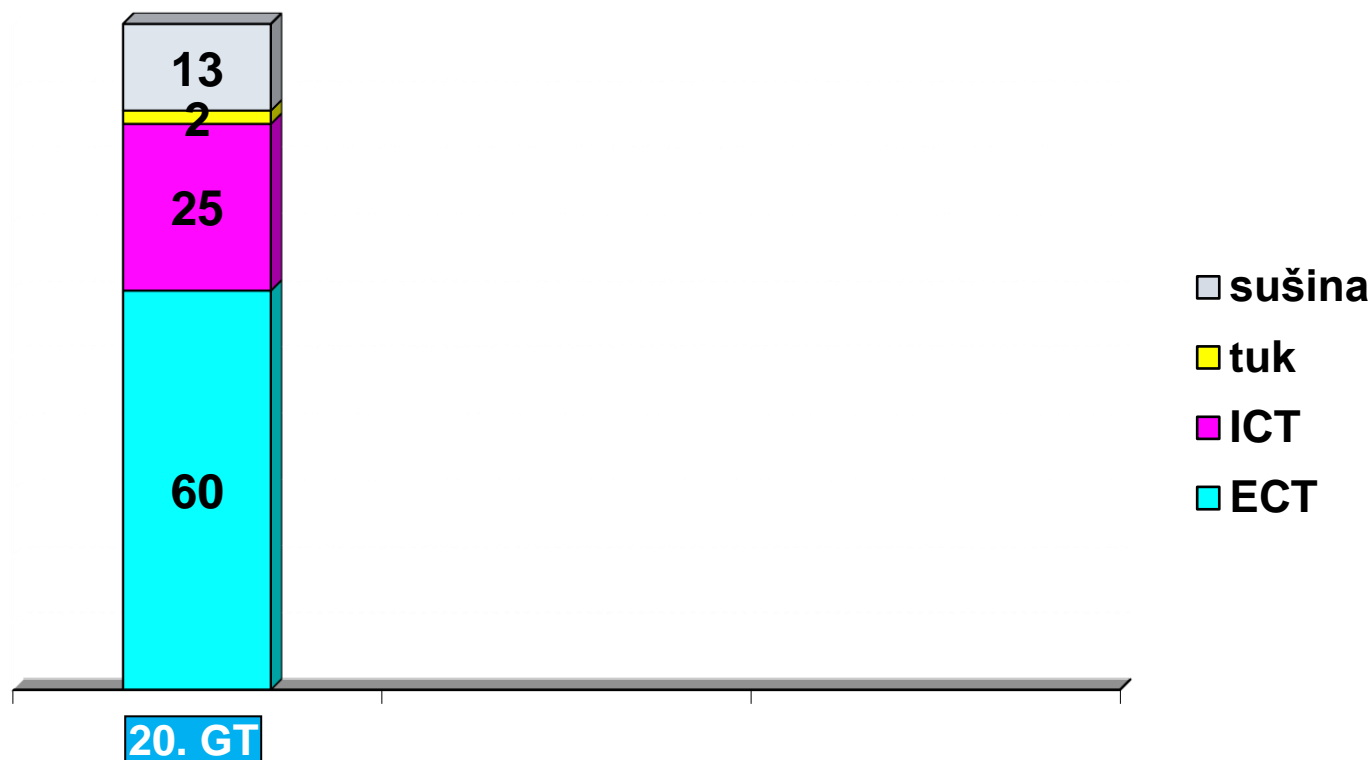
Retence Na u donošeného dítěte (příjem v MM 1,2 mmol/kg/den)

Ztráty Na u dítěte <32. GT (zpočátku potřeba 4-6 mmol/kg/den)

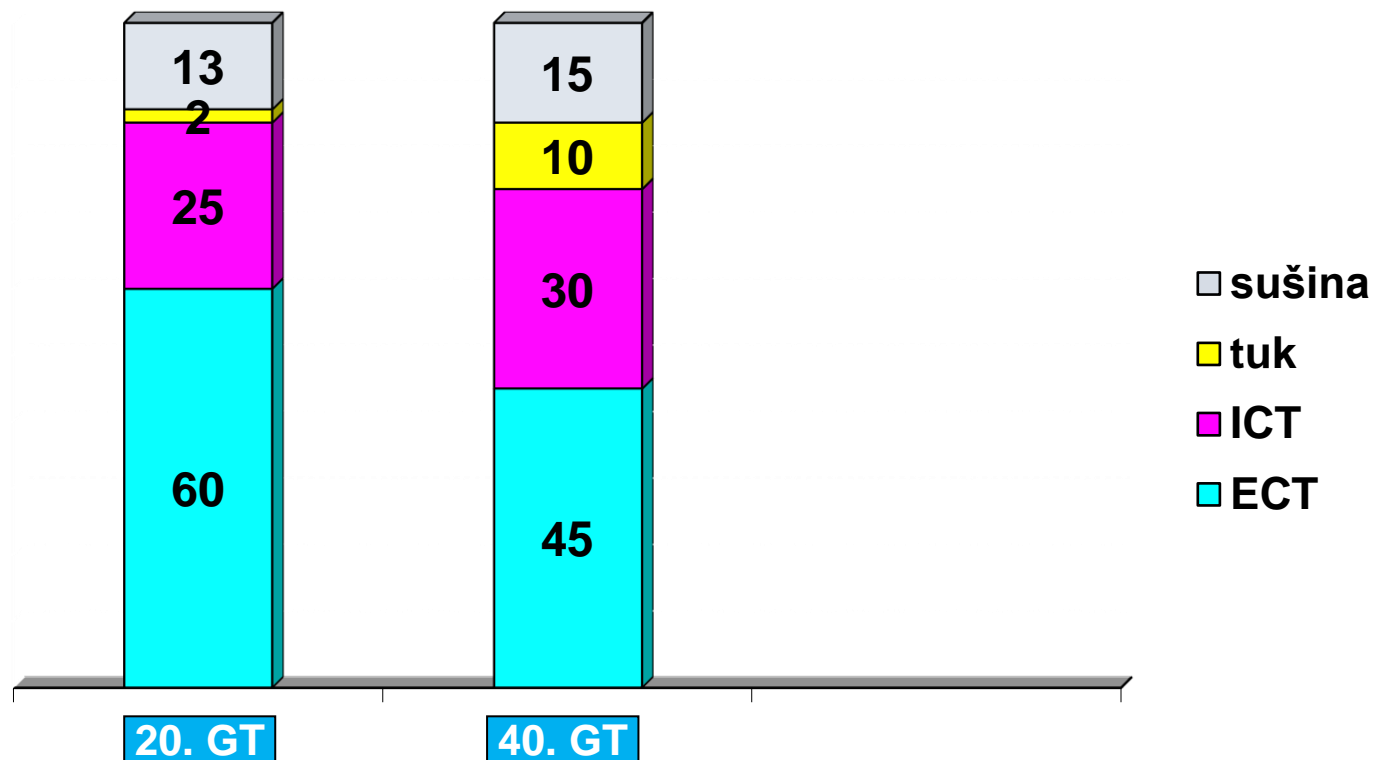
↓ senzitivita k regulujícím hormonům (RAAS)

Limitovaná schopnost vyloučit Na

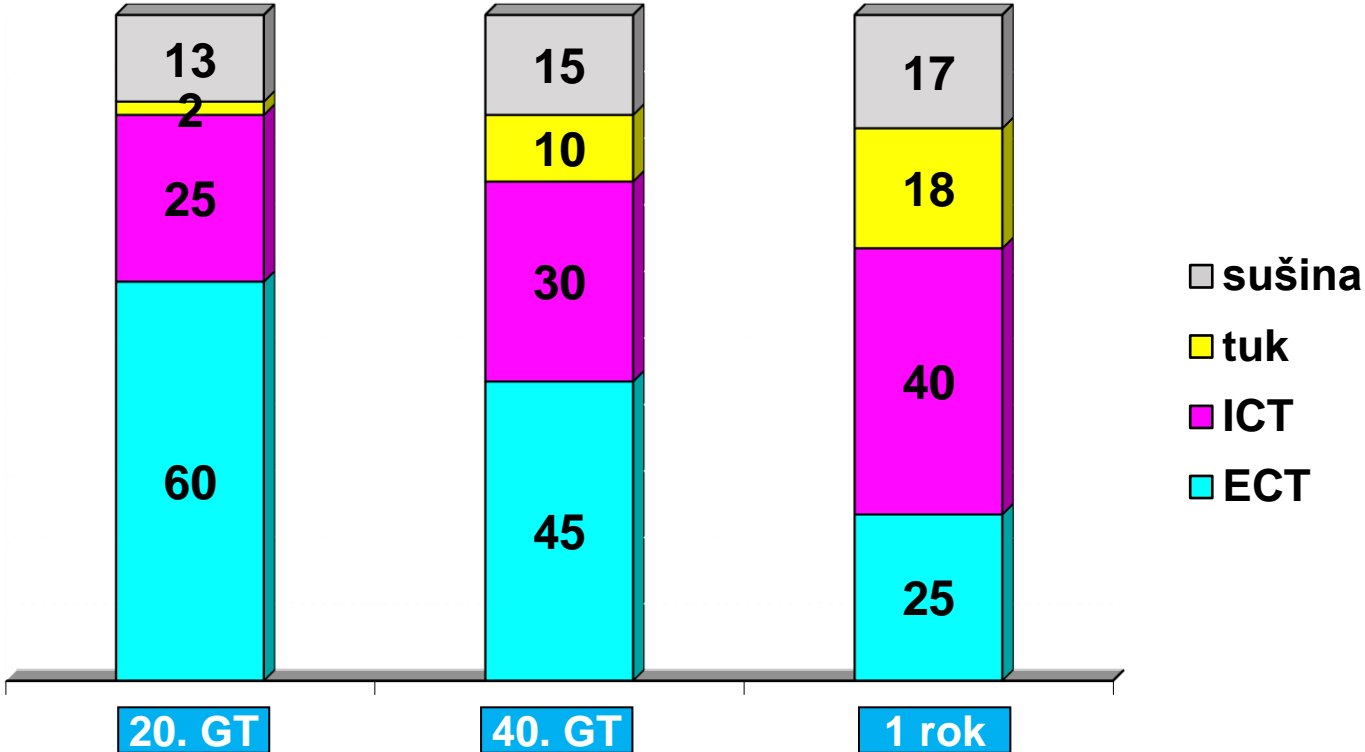
Složení těla



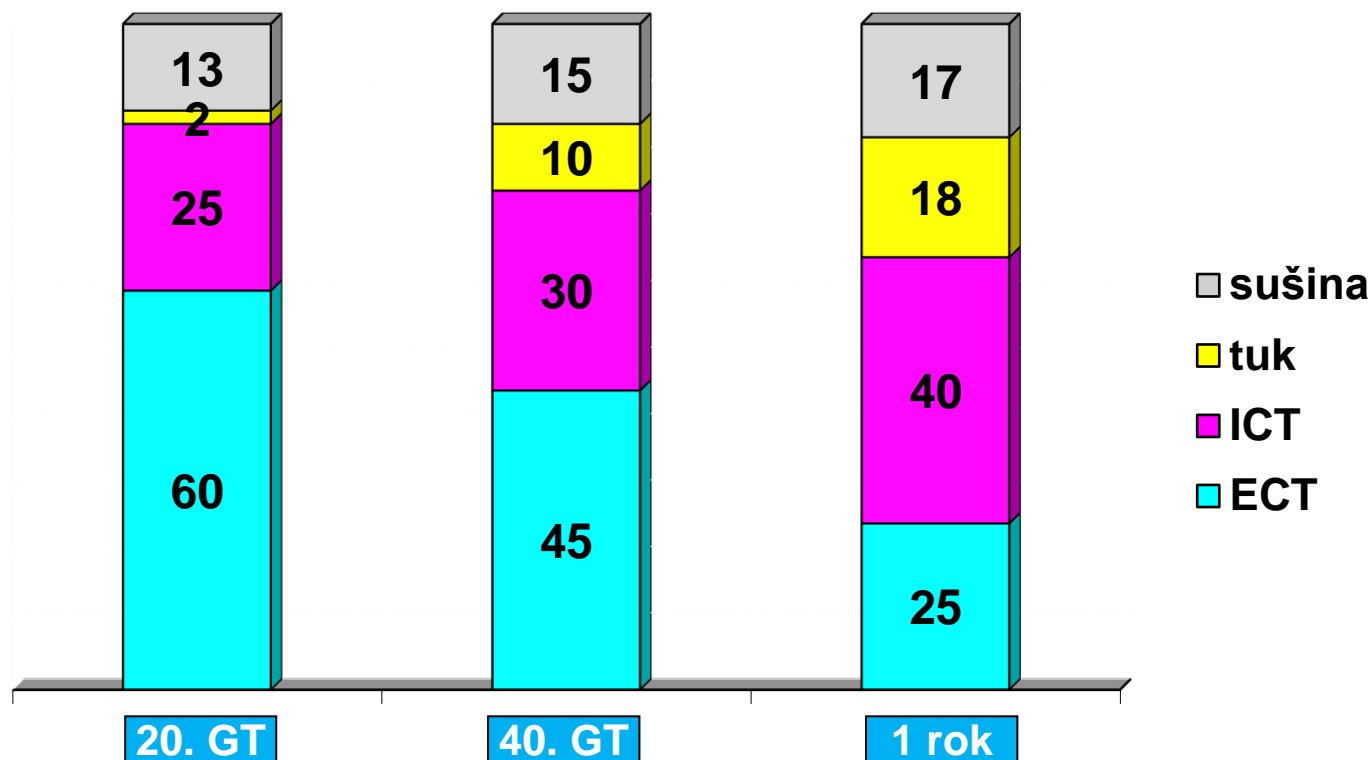
Složení těla



Složení těla

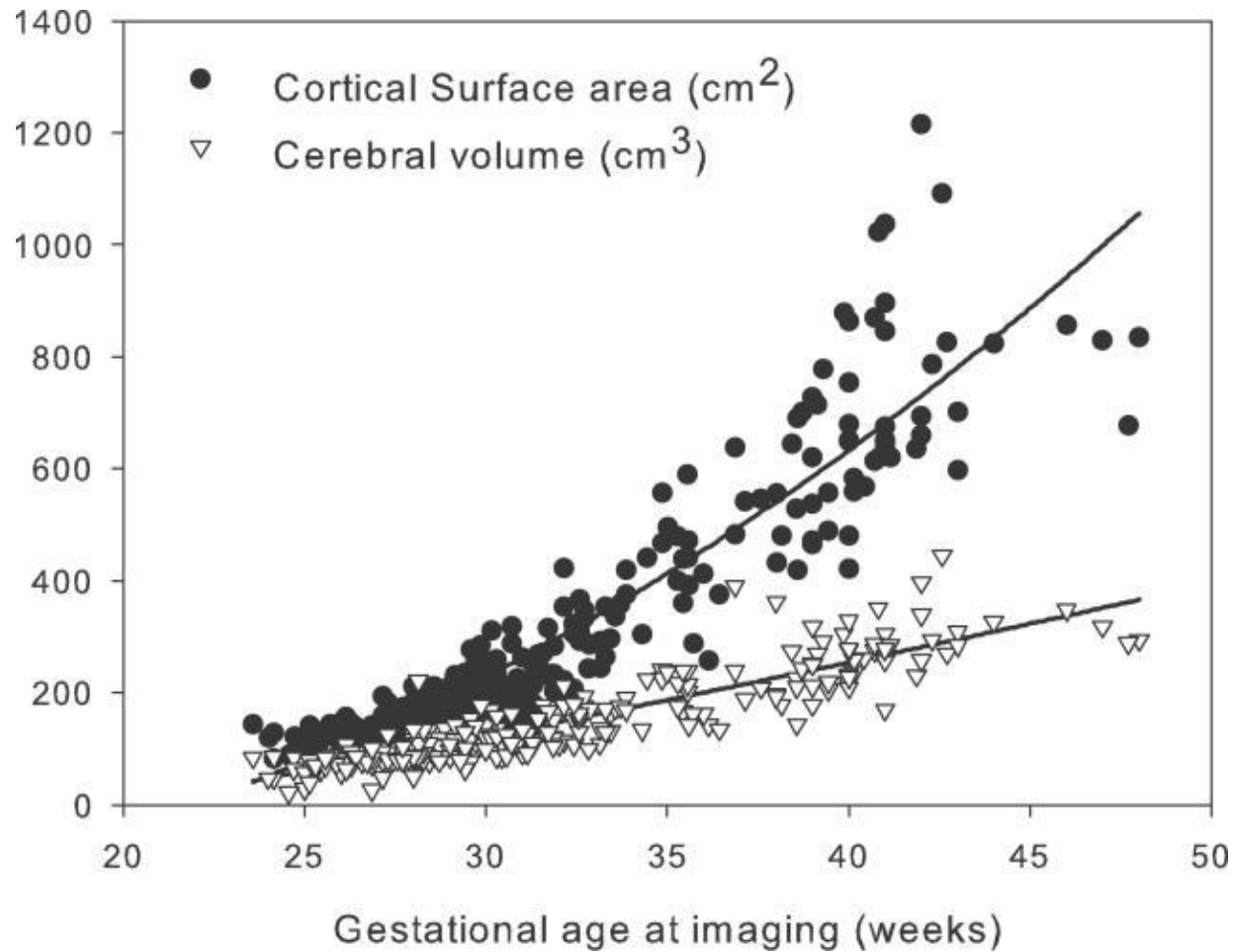


Složení těla

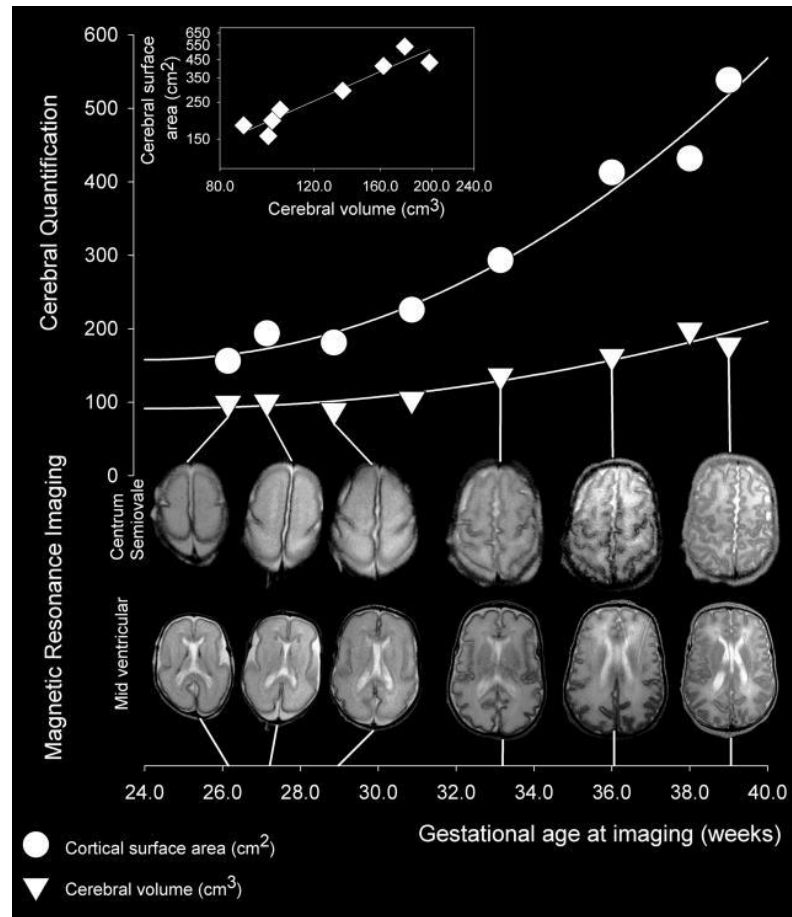


**Fyziologický hmotnostní spád
Donošení 5–10%, nezralí až 15%**

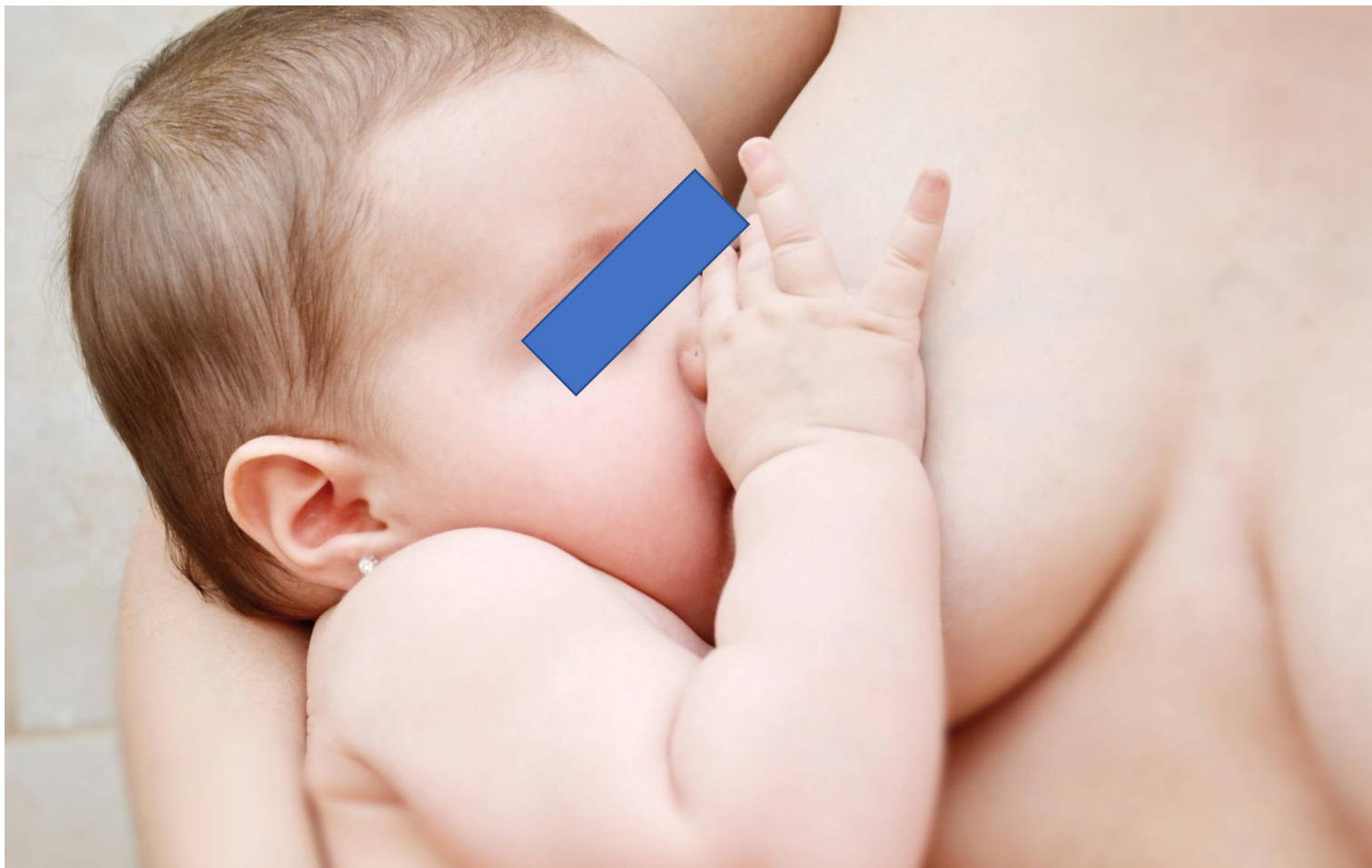
CNS - vývoj mozku



CNS - vývoj mozku



Dyáda matka-dítě





<https://www.medicalmedia.eu/cs/Detail/14620>
<https://youtu.be/gZWEdu29kQ8>